

بازسازی آب و هوای کواترنر پسین با استفاده از پذیرفتاری مغناطیسی و ژئوشیمی عناصر اصلی لس‌های منطقه آزادشهر

وحید فیضی - دانشجوی دکترای اقلیم شناسی، دانشگاه تهران

قاسم عزیزی* - دانشیار گروه جغرافیای طبیعی، دانشگاه تهران

حبيب علیمحمدیان - استادیار گروه زمین شناسی، سازمان زمین شناسی و اکتشافات معدنی کشور

حسین محمدی - استاد گروه جغرافیای طبیعی، دانشگاه تهران

علی اکبر شمسی پور - استادیار گروه جغرافیای طبیعی، دانشگاه تهران

پذیرش مقاله: ۱۳۹۳/۰۲/۲۰ تأیید نهایی: ۱۳۹۳/۹/۲۸

چکیده

تشکیل رسوبات لسی، یکی از مهمترین پیامدهای تغییرات اقلیمی است. توالی رسوبات لس/خاک دیرین یکی از بهترین آرثیوهای طبیعی برای ثبت تغییرات اقلیمی باشد. از این قابلیت رسوبات لسی، بروای بازسازی تغییرات اقلیمی کواترنر و تغییر و تحول ژئومورفولوژیکی می‌توان استفاده کرد. در این تحقیق برای بازسازی آب و هوای کواترنر پسین منطقه آزادشهر برش لسی نوده انتخاب شد. این برش دارای ۷/۲۳۷ متر سمترا می‌باشد. در مجموع تعداد ۲۳۷ نمونه از کل برش با فاصله ۱۰ سانتیمتری جهت آنالیزهای مغناطیسی و ژئوشیمی انتخاب و برداشت شد. پذیرفتاری مغناطیسی تمامی نمونه ها اندازه گیری شده و بر اساس نتایج به دست آمده از این اندازه گیری، ۷۰ نمونه برای آنالیز ژئوشیمی انتخاب شدند. نتایج حاصل از این تحقیق نشان داد که میزان پذیرفتاری مغناطیسی با توالی لس-خاک دیرینه ارتباط مستقیم داشته و با تشکیل رسوبات لسی پذیرفتاری مغناطیسی کاهش و با تشکیل لایه های خاک دیرینه افزایش یافته است. بدین ترتیب لس ها و خاک های دیرین مطالعه شده به ترتیب در دوره های یخچالی و بین یخچالی و در شرایط آب و هوایی متفاوت تشکیل شده اند. همچنین تغییرات نسبت اکسید کلسیم به اکسید آلومینیوم ($\text{CaO}/\text{Al}_2\text{O}_3$) هم راستا با خصوصیات تشکیل خاک، دامنه زیاد تغییرپذیری را نشان می دهد. بنابراین نسبت عناصر ذکر شده می تواند در بازسازی آب و هوای گذشته کواترنر مورد استفاده قرار گیرد.

وازگان کلیدی: تغییر اقلیمی، پذیرفتاری مغناطیسی، کواترنر، لس، آزادشهر.

مقدمه

رسوبات بادرفتی از قبیل لس‌ها به دلیل برخورداری از شاخص‌های اقلیم گذشته از طریق فسیل‌ها، پذیرفتاری مغناطیسی و ترکیبات شیمیایی به طور گسترده در علوم زمین مورد بررسی قرار گرفته‌اند (Gallet et al., 1996, 76; Jahn et al., 2001:92). به علاوه اطلاعات ژئوشیمی لس‌ها می‌تواند در تعیین ترکیب پوسته بالایی قاره‌ها مورد استفاده قرار گیرد (Taylor et al., 1983, 1897; McLennan, 2001, 28).

رسوبات لسی حدود ۱۰ درصد از سطح زمین را پوشش داده و بیشتر در عرض‌های جغرافیایی ۳۰° تا ۶۰° درجه‌ی نیمکره‌ی شمالی، موسوم به کمریند لس قرار دارند (Pécsi, 1990, 8). با توجه به اینکه در دوره‌های یخچالی میزان اختلاف فشار بین قطب و استوا افزایش پیدا می‌کردند، لذا بادها با شدت زیادی می‌وزیدند و این عامل باعث می‌شد تا رسوبات یخچالی که به وسیله رودخانه‌ها حمل شده و در دشت‌ها بجای گذاشته شده اند مصالح مناسبی برای بادهای شدید بوده و تا مسافت‌های طولانی جابجا شوند. لذا این بادها، رسوبات ریز در حد سیلت را با خود حمل کرده و با توجه به وضعیت توپوگرافی و شرایط مساعد آنها را رسوب می‌دادند. به عبارتی این رسوبات یخچالی بر اساس قدرت باد در دوره‌های سرد جابجا می‌شدند. با به وجود آمدن شرایط اقلیمی دوره‌های بین یخچالی و به عبارتی گرم و مرطوب این رسوبات لسی نهشته شده شروع به خاکزایی می‌کنند. لذا در دوره‌های اقلیمی سرد و خشک شاهد رسوب‌گذاری لس‌ها و در دوره‌های اقلیمی گرم و مرطوب فعالیت‌های خاکزایی و تشکیل خاک دیرینه صورت می‌گیرد.

نهشته‌های لسی با میان لایه‌های خاک دیرین به عنوان یکی از بهترین رسوبات ثبت کننده تغییرات آب و هوای دوره گذشته به ویژه کواترنری در خشکی‌ها به شمار می‌روند (Ding et al., 1999: 50; Guo et al., 2002, 161) تجمع رسوبات لسی، یکی از مهمترین پی‌آمدۀای تغییرات اقلیمی است (عزیزی، ۱۳۸۳، ۲۰۱). توالی رسوبات لس و خاک دیرین به ترتیب با دوره‌های سرد و گرم کواترنر همیستگی داشته و به همین دلیل یکی از مهمترین بایگانی‌های طبیعی تغییر اقلیم در خشکی‌ها بوده و برای بازسازی تغییرات اقلیمی کواترنر و تغییر و تحول ژئومورفولوژیکی به فراوانی استفاده می‌شود (کریمی و همکاران، ۱۳۹۰، ۲۴۲).

هاردکاستل در سال ۱۸۹۰ برای اولین بار، ارتباط لس و اقلیم را بیان کرد. او به شواهدی مانند رگه‌های ایجادشده در اثر خشکی و دانه‌های قهوه‌ای مرتبط با اقلیم مرطوب و آثار حشره‌ها در لس‌ها پرداخت. شواهد بدست آمده گویای تناب و دوره‌های خشک و مرطوب ناشی از تغییر اقلیم بود که در لس‌ها به جا مانده بود. ضخامت بیشتر لس بر اقلیم سردر و خشک‌تر و تکامل بیشتر خاک بر اقلیم گرم‌تر و مرطوب‌تر دلالت دارد (Liu, 1987, 55). Fényes (Hum در سال ۱۹۹۵ بر اساس ژئوشیمی عناصر اصلی و کمیاب موجود در سری‌های لس-خاک دیرینه در ترانسدانوبیا (Transdanubia) پیشنهاد کردند که بازسازی روندهای اقلیم گذشته با استفاده از داده‌های ژئوشیمی امکان پذیر است.

Zech و همکاران (۲۰۰۸)، جهت ارزیابی توانایی رسوبات شبه لسی در بازسازی شرایط محیطی و آب و هوایی دوره‌های کواترنری به مطالعه بر روی توالی‌های خاک‌های دیرین تامارا (Tumara) در شمال شرقی سیبری پرداختند و عنوان کردند که با استفاده از مدل‌های اقلیمی که بر اساس پارامترهای مغناطیسی بدست آمده، می‌توان تغییرات اقلیمی مشاهده شده را توضیح داد. همچنین اندازه ذرات نمایانگر غالب بودن خاک‌های سیلتی بوده و مovid رسوباتی با منشاء بادی می‌باشد. در حالی که اجزای کوچک تر از ۶ میکرون، نشان دهنده شکل گیری رس‌ها، و سیلت‌هایی با اندازه‌های ریز و درشت (۴۰-۱۰۰ و ۱۰۰-۴۰ میکرومتر به ترتیب) برای برآورد بادهای دیرین بکار گرفته می‌شود.

میزان مواد آلی در خاک دیرین بیشتر از بسترهای لسی است (Zech et al., 2008, 287). به عبارت دیگر، در

طی دوره‌های گرم مواد ارگانیک و یا آلی بیشتری ساخته می‌شوند و یا در طی دوره‌های یخچالی تجمع لس‌ها سریع تر صورت می‌گیرد (Zander et al., 2003, 1008). وقوع بیشترین زدگی بویژه در مناطق بوریال و آرکتیک، همانند شمال شرقی سیبری، از عوامل بازدارنده کانی زایی (و تجمع مواد ارگانیک) در خاکها می‌شود. علاوه بر میزان استاندارد مواد ارگانیکی چون Corg، Norg و Corg/Norg، آمینو اسیدی (enantiomers) نیز جزو نشانگرهای طبیعی هستند. آمینو اسیدها، ماده اصلی سازنده پروتئین، منبع مهمی از نیتروژن خاک بشمار می‌آیند (Zech et al., 2008, 291).

Zhang و Liu در سال ۲۰۱۳ به بررسی ارتباط بین مشخصه پسماند مغناطیسی (ChRM1) و فرایندهای خاکزایی در فلات لس چین پرداختند و نشان دادند که ارتباط قوی و پایداری بین شدت پسماندهای مغناطیسی بعد از هر مرحله مغناطیسی زدایی حرارتی و نیز پذیرفتاری مغناطیسی با شاخصه‌های فرایندهای خاکزایی وجود دارد. در سال ۲۰۱۳ Jia و همکاران به بررسی تغییرات پذیرفتاری مغناطیسی در کوه Tien واقع در چین پرداختند و بیان کردند که افزایش فرایندهای خاکزایی منجر به افزایش میزان ذرات فرومغناطیس شده که این موضوع می‌تواند الگوی مناسبی از چگونگی تغییرات پذیرفتاری مغناطیسی باشد.

مطالعات پیشین نشان داده‌اند که قابلیت پذیرفتاری مغناطیسی نهشت‌های بادی، می‌توانند برای ارزیابی درصد رطوبت دیرینه به صورت یک صفت کمی بکار برد (Liu, et al., 1995, 132; Maher & Thompson, 1995, 144)، بدین معنا که امکان تعیین تغییرات در بارش باران‌های موسومی از روی خواص مغناطیسی کانی‌های واحدهای لس و خاک‌های دیرینه وجود دارد. بر این اساس اصلی‌ترین ویژگی این است، که قابلیت پذیرفتاری مغناطیسی و در نتیجه مغناطیسی شدگی در خاک‌های دیرینه، بسیار قویتر از لایه‌های لس می‌باشد، به طوری‌که در واکنش به یک میدان مغناطیسی فعال (که به شکل پذیرفتاری مغناطیسی در لایه‌ها ثبت شده است)، مقدار پذیرفتاری مغناطیسی لایه‌های خاک دیرینه به طور معمول ۲ تا ۵ برابر بیشتر از مقدار پذیرفتاری مغناطیسی لایه‌های لس هستند (Maher, 2011, 140)، زیرا فرآیند تشکیل خاک‌ها در شرایط آب و هوایی گرم و مرطوب (شرایط تولید خاک‌های دیرینه)، موجب افزایش تولید کانی‌های فری‌مغناطیسی با مقدار قابلیت پذیرفتاری مغناطیسی بالا و در نتیجه، سبب افزایش قابلیت پذیرفتاری مغناطیسی در خاک‌های دیرینه (خاک فسیل‌های قرمز رنگ)، در مقایسه با نهشت‌های لس (رسوبگذاری در طی ادوار سرد و خشک) است (An et al., 1977, 244).

در مورد مطالعات صورت گرفته بر روی لس‌های ایران می‌توان به موارد زیر اشاره کرد که بیشتر جنبه شناسایی و تفسیر ویژگی‌های لس را داشته و از آنها برای تفسیر اقلیم گذشته کمتر استفاده شده است.

پاشایی (۱۹۹۶) با مطالعه‌ی رسوبات لسی دوره‌ی هولوسن منطقه‌ی گرگان و دشت، به چهار دوره‌ی گرم و خشک رسوب گذاری لس که توسط دوره‌های گرم و مرطوب از یکدیگر جدا می‌شوند، اشاره کرده است. اخروی و امینی (۲۰۰۱) ویژگی‌های لس‌های حوضه‌ی آبخیز قره تیکان واقع در منطقه‌ی کوه داغ و همچنین فرسایش پذیری آن‌ها را بررسی کرده و سرچشممه‌ی احتمالی آنها را مناطق دوردست در آسیای میانه بیان کرده‌اند. کهل و همکاران (۲۰۰۵) لس‌ها و شبه لس‌های منطقه‌ی تخت جمشید و کریمی و همکاران (۲۰۰۹) رسوبات لسی شمال شرق ایران را شناسایی کرده و براساس سن‌یابی، سعی در تعیین تغییرات اقلیمی کرده‌اند. کهل و همکاران (۲۰۰۶) و فریچن و همکاران (۲۰۰۹) نیز با سن‌یابی چند مقطع لس خاک قدیمی در شمال ایران، رسوب گذاری لس و تشکیل خاک در آخرین دوره‌ی یخچالی بین یخچالی و همبستگی آن‌ها را با دیگر مناطق جهان بررسی کرده‌اند. در این تحقیق از سه برش رسوبی نکا، نوده و آق بند برای بررسی وضعیت اقلیمی گذشته در شمال ایران استفاده شده است که با مقایسه برش‌های

درای کالون(Darai kalon) تاجیکستان و مند باساهارک(Mende Basaharck) شرایط اقلیمی مشابهی با این مناطق را به دست آوردند. نتایج آنها نشان می‌دهد که رسوبات لس و تشکیلات خاکی شمال ایران بازتاب سیکل‌های اقلیمی مشابه توالي لس-خاک دیرینه در اروپای مرکزی، اروپای شرقی و آسیای میانه دارد. همچنین رابطه نزدیکی با توالي های فلات لسی چین دارد.

کریمی و همکاران در سال ۲۰۱۳ به بررسی پذیرفتاری مغناطیسی و خصوصیات مورفولوژیکی توالي لس-خاک دیرینه شمال شرق ایران پرداختند. برای این منظور آنها برش رسوبی تپه سلام را به پنج بخش با توجه به خصوصیات مورفولوژیکی که واکنش‌های خاکزایی و شرایط زیست محیطی متفاوت، تقسیم کردند و جداگانه به بررسی وضعیت اقلیم گذشته آنها پرداختند. نتایج تحقیق آنها نشان می‌دهد که پذیرفتاری مغناطیسی پارامتر قابل اطمینانی برای بازسازی آب و هوا و شرایط محیطی گذشته است. در بخش‌های مرکزی ایران نیز لس به صورت موضعی وجود دارد که به دلیل وسعت کم و همچنین عدم انجام پژوهش‌های کافی، شناخته شده نیستند.

مهدی پور در سال ۱۳۹۱، توالي‌های لس/خاک دیرینه نکا را با استفاده از روش محیط مغناطیسی و ژئوشیمی مورد بررسی قرار داد. ایشان با تلفیق تمامی داده‌ها و نتایج، موقع چرخه‌های یخچالی-بین‌یخچالی و دوره‌های آب و هوایی کوتاه‌تر بین آن‌ها را شناسایی کرده و چگونگی تغییرات آب و هوایی، محیط دیرینه، زیست گیاهی و جانوری، چگونگی پیشرفت فرآیندهای تشکیل خاک‌های دیرینه به همراه تأثیر کانی‌های مغناطیسی تولید شده در این فرآیندها در تشخیص شرایط اقلیمی دیرینه و همچنین چگونگی انباست و رسوبگذاری نهشته‌های بادی را مورد مطالعه قرار دادند. بخش شمالی ایران به لحاظ جغرافیایی، هم عرض کشورهایی مانند آسیای میانه و چین است که مناطق وسیعی به ویژه در چین با رسوبات لسی پوشیده شده‌اند. مطالعات لس و بررسی جنبه‌های مختلف آن در ایران نسبت به مطالعات انجام شده در دنیا ناچیز بوده و هنوز اطلاعات فراوانی در این رسوبات نهفته است که با انجام پژوهش‌های مناسب قابل استخراج است. لذا در این تحقیق سعی شده است تا با استفاده از روش پذیرفتاری مغناطیسی و ژئوشیمی، به بررسی آب و هوای گذشته نهشته‌های لس منطقه آزاد شهر پرداخته شود.

منطقه مورد مطالعه

موقعیت جغرافیایی برش مورد مطالعه در عرض شمالی،^۱ ۵۰°۵'۰۵" و طول شرقی،^۲ ۳۷°۰۵'۵۸" در ارتفاع ۱۶۵ متری از سطح آب‌های آزاد می‌باشد. برش مورد مطالعه در نزدیکی روستای نوده از توابع شهرستان آزادشهر و روبروی دانشگاه آزاد اسلامی واحد آزادشهر قرار گرفته است. منطقه مطالعاتی در زون ساختمانی البرز (Stocklin, 1968) و از نظر پهنه‌های اصلی رسوبی ساختاری ایران‌جزء حاشیه جنوبی خزر است، نبوی (۱۳۵۵)، از نظر ساختمانی - رسوبی، منطقه مورد مطالعه را جزء زون گرگان- رشت ذکر کرده و آن را جزء حوضه پاراتیسی دانسته است (آقانباتی، ۱۳۸۵). این زون شامل مناطقی است، که در شمال گسل البرز قرار دارد و حاشیه دریای خزر را در سواحل ایران مسدود کرده و به سمت شرق با لایه‌های ضخیمی از لس پوشیده می‌گردد.

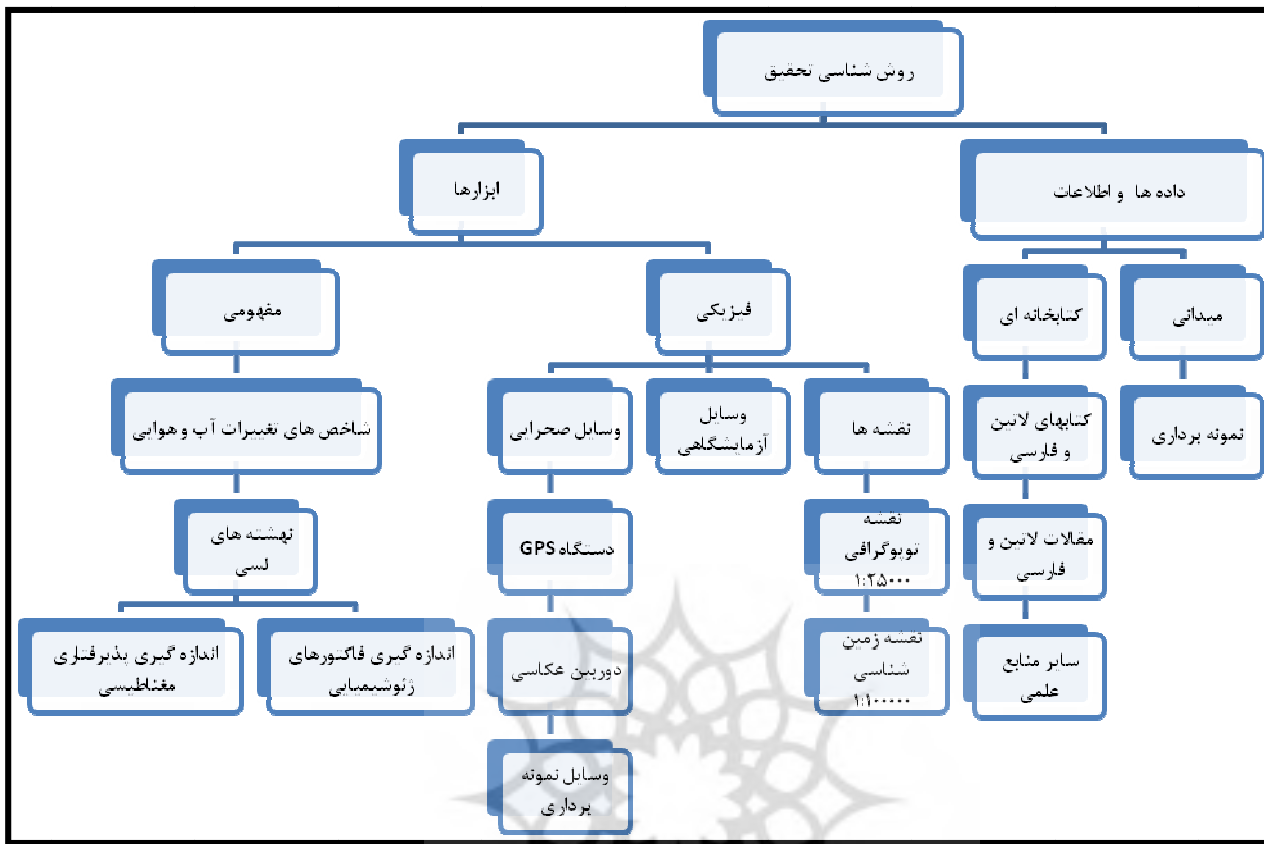
با توجه به موارد ذکر شده اقدام به تعیین مقطع برای نمونه برداری گردید که پس از مطالعات و بررسی‌های فراوان برش نوده که قبلاً توسط کهل و همکاران در سال ۲۰۰۵ و فریچن و همکاران در سال ۲۰۰۹ جهت بررسی مطالعات خاکشناسی استفاده شده و سن یابی نیز شده بود، انتخاب گردید. شکل ۱ برش رسوبی نوده و نحوه تشکیل لایه‌های لس با میان لایه‌های خاک دیرینه را نشان می‌دهد.



شکل ۱: برش رسوی نوده و نحوه تشکیل لایه های لس با میان لایه های خاک دیرینه

مواد و روش‌ها

روش تحقیق حاضر، تلفیقی از مرور سامان مند منابع کتابخانه‌ای و میدانی و کارهای آزمایشگاهی است. در جریان بررسی کتابخانه‌ای، بررسی منابع لاتین و فارسی و جستجوی اینترنتی مقالات تحقیقی و پایان نامه‌های لاتین و فارسی در مجلات و سایت‌های پژوهشی خارجی و داخلی در زمینه ویژگی‌های لس‌ها، انواع، اهمیت خصوصیات و تغییرات آن‌ها و ارتباط آن‌ها با تغییرات اقلیم در دوره کواترنر پسین، شواهد این تغییرات، نحوه نمونه برداری، انواع آزمایشات و نحوه تجزیه و تحلیل آن‌ها گردآوری شد. در مطالعات میدانی چندین مرحله از منطقه مورد مطالعه بازدیدهای به عمل آمد و محل و روش نمونه برداری مشخص شد. پس از مشخص کردن محل دقیق برش رسوی، اقدام به نمونه برداری شد. پیش از نمونه برداری، لایه‌های رسوی هوازده به وسیله چکش کنار زده تا سطح تازه از رسویات نمایان شود. سپس با استفاده از متر، لایه مورد نظر به فواصل ۱۰ سانتیمتری تقسیم بندی شدند و نمونه برداری صورت گرفت. در مجموع ۲۳۷ نمونه، هر یک به وزن تقریبی ۵۰۰ گرم از برش نوده نمونه برداری شد. تمامی نمونه‌ها مورد آزمایش پذیرفتاری مغناطیسی قرار گرفت و بر اساس نتایج به دست آمده از این آزمایش، ۷۰ نمونه برای آنالیز شیمیایی عناصر اصلی در نظر گرفته شد. باید اشاره نمود که در این تحقیق از سن سنجی‌های کار تحقیقی Frechen et al در سال ۲۰۰۹ استفاده شده است. آنها در تحقیق خود با استفاده از پارامترهای خاک شناسی به بررسی برش نوده و دو برش دیگر در استان گلستان پرداخته‌اند. شکل ۲ مراحل روش شناسی تحقیق را نشان می‌دهد.

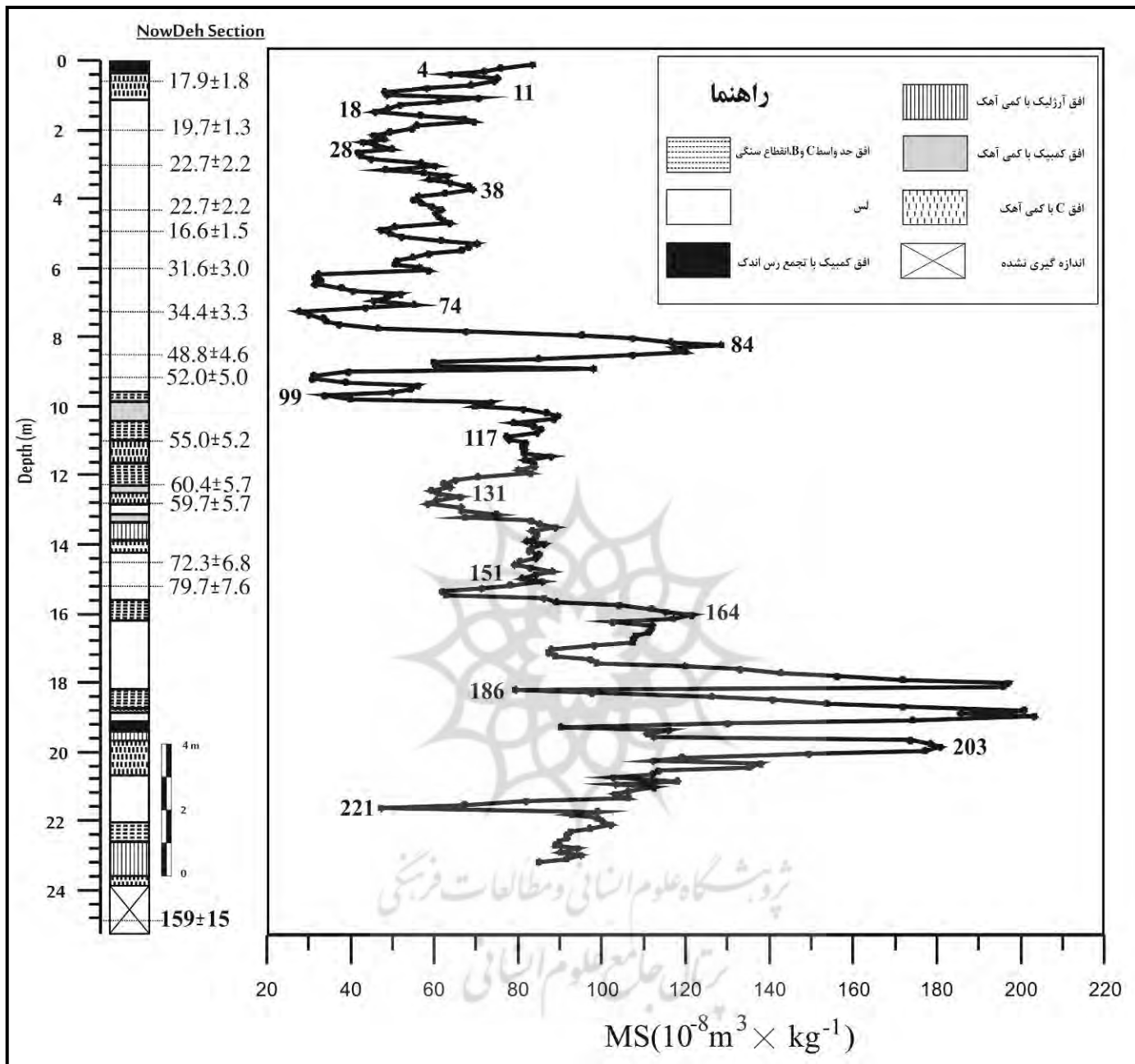


شکل ۲: مراحل روش‌شناسی تحقیق

یافته‌های تحقیق

پذیرفتاری مغناطیسی

تغییرات این پارامتر در برش رسوی نوده زیاد بوده و دامنه آن از ۱۷۸/۱۳ تا ۲۰۳/۲۸ (۱۰^{-۸} m^۳ × Kg^{-۱}) است که این تغییرات در شکل ۳ به خوبی قابل مشاهده است. بیشترین میزان پذیرفتاری مغناطیسی در عمق ۱۹۴۰ سانتیمتری و کمترین آن نیز در عمق ۷۴۰ سانتیمتری ثبت شده است. تغییرات این پارامتر در عمق ۲۳/۷ تا ۲۲ متری بسیار کم است و در عمق ۲۲/۱ متری یک کاهش چشمگیر دیده می‌شود. پس از آن تا عمق ۲۰ متری دامنه نوسانات کمتر می‌شود. از عمق ۲۰ متری تا ۱۶ متری نوسانات شدیدی به صورت کاهشی و افزایشی در پذیرفتاری مغناطیسی مشاهده شده است. از عمق ۱۶ متری تا حدود عمق ۱۰ متری نوسانات کاهش یافته و مقدار آن بسیار کم شده است. از عمق ۱۰ تا ۸ متری یک کاهش و به دنبال آن یک افزایش دیده می‌شود. در ادامه نیز هر چه به سمت خاک سطحی (راس برش) حرکت می‌کنیم مقدار نوسانات پذیرفتاری مغناطیسی کمتر شده و تنها در لایه‌های سطحی کمی این نوسانات دچار تغییر شده‌اند.



شکل ۳: تغییرات پذیرفتاری مغناطیسی در طول برش نوده

ژئوشیمی

جهت بررسی ارتباط بین پذیرفتاری مغناطیسی و غلظت عناصر اصلی توالی رسوبات لس/خاک دیرین، بعد از اندازه گیری پذیرفتاری مغناطیسی، تعداد ۷۰ نمونه از محل آنومالی های مغناطیسی به دست آمده، جهت آزمایش ژئوشیمی انتخاب شدند و مورد آزمایش قرار گرفتند. غلظت عناصر اصلی و بعضی از نسبت های این عناصر که در تحلیل شرایط اقلیم دیرین مورد استفاده قرار می گیرند، در جدول ۱ نشان داده شده است.

جدول ۱ : نتایج به دست آمده از آنالیز ژئوشیمی برش رسوبی نوده

عمق نمونه برداری	Al_2O_3	Fe_2O_3	CaO	Na_2O	K_2O	SiO_2	$\text{SiO}_2/\text{Cao+mgo}$	$\text{Cao}/\text{Al}_2\text{O}_3$	$\text{Na}_2\text{O}/\text{Al}_2\text{O}_3$	$\text{Na}_2\text{O}/\text{K}_2\text{O}$
------------------	-------------------------	-------------------------	--------------	-----------------------	----------------------	----------------	-------------------------------	------------------------------------	---	--

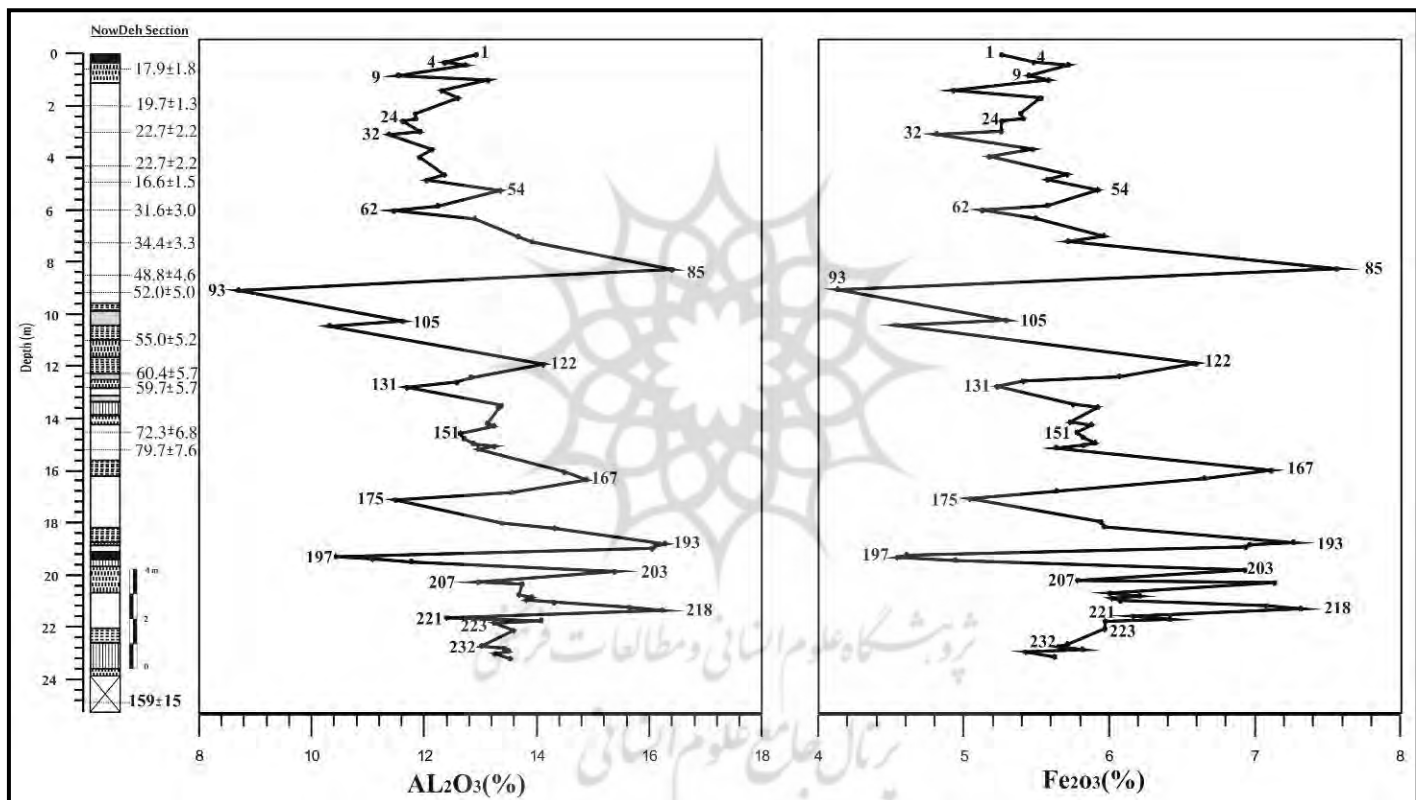
(سانتیمتر)											
۱۰	۱۲/۹	۵/۲۷۲	۱۰/۰۰۷	۰/۶۷۲	۲/۰۵۸	۵۰/۷	۴/۱۰۲۹	۰/۷۷۵۷	۰/۰۵۲۱	۰/۳۲۶۵	
۴۰	۱۲/۳۴۲	۵/۴۹۳	۱۳/۴۹۲	۰/۶۹۱	۲/۱۸	۴۶/۷	۲/۹۳۹۰	۱/۰۹۳۲	۰/۰۵۶۰	۰/۳۱۷۰	
۵۰	۱۲/۷۰۶	۵/۷۳۱	۱۲/۱۲۳	۰/۶۶۷	۲/۱۰۶	۴۷/۱	۳/۲۶۴۳	۰/۹۵۴۱	۰/۰۵۲۵	۰/۳۱۶۷	
۹۰	۱۱/۵۱۴	۵/۴۶	۱۵/۱۵۵	۰/۷۱۱	۲/۰۷۶	۴۵/۸	۲/۵۹۴۶	۱/۳۱۶۲	۰/۰۶۱۸	۰/۳۴۲۵	
۱۱۰	۱۳/۱۱۴	۵/۵۹۴	۱۱/۸۱	۰/۷۵۸	۲/۲۱۶	۴۸/۵	۳/۳۹۸۲	۰/۹۰۰۶	۰/۰۵۷۸	۰/۳۴۲۱	
۱۵۰	۱۲/۲۸۴	۴/۹۳۸	۱۴/۲۰۲	۰/۷۴۵	۲/۰۰۹	۴۷/۱	۲/۸۱۱۲	۱/۱۵۶۱	۰/۰۶۰۶	۰/۳۷۰۸	
۱۸۰	۱۲/۵۷۴	۵/۵۴۱	۱۳/۲۵۹	۰/۷۷۹	۲/۱۹	۴۷/۷	۳/۰۰۴۳	۱/۰۵۴۵	۰/۰۶۲۰	۰/۳۵۵۷	
۲۴۰	۱۱/۸۱۵	۵/۴۰۲	۱۵/۸۷۶	۰/۷۴۹	۲/۰۷۲	۴۵/۱	۲/۴۵۸۷	۱/۳۴۳۷	۰/۰۶۳۴	۰/۳۶۱۵	
۲۶۰	۱۱/۸۲۲	۵/۴۲۱	۱۵/۰۷۹	۰/۷۳۶	۲/۱۱۸	۴۶/۳	۲/۶۲۶۹	۱/۲۷۵۵	۰/۰۶۲۳	۰/۳۴۷۵	
۲۷۰	۱۱/۵۹۵	۵/۲۷۲	۱۵/۰۵۸	۰/۷۵۸	۲/۰۶۶	۴۶/۲	۲/۶۲۵۴	۱/۲۹۸۷	۰/۰۶۵۴	۰/۳۶۶۹	
۳۱۰	۱۱/۹	۵/۲۶۹	۱۵/۱۳۹	۰/۶۹۵	۲/۲۷۵	۴۵/۵	۲/۶۰۵۳	۱/۲۷۲۲	۰/۰۵۸۴	۰/۳۰۵۵	
۳۲۰	۱۱/۳۴۶	۴/۱۸۲	۱۶/۷۳	۰/۶۸۱	۱/۹۲۴	۴۴/۱	۲/۳۲۱۷	۱/۴۷۴۵	۰/۰۵۷۱	۰/۳۴۶۸	
۳۸۰	۱۲/۱۱۱	۵/۴۸۴	۱۴/۳۹۱	۰/۶۷۳	۲/۲۱۶	۴۶/۵	۲/۷۷۵۸	۱/۱۸۸۳	۰/۰۵۵۶	۰/۳۰۳۷	
۴۱۰	۱۱/۸۹۱	۵/۱۸۷	۱۴/۶۳۸	۰/۷۴۷	۲/۲۰۶	۴۶/۲	۲/۶۹۷۹	۱/۲۳۴۸	۰/۰۶۲۶	۰/۳۳۷۳	
۴۸۰	۱۲/۳۳۲	۵/۷۲۴	۱۳/۷۴۸	۰/۷۹	۲/۳۵۷	۴۷/۲	۲/۹۱۴۶	۱/۱۱۴۸	۰/۰۶۴۱	۰/۳۳۵۲	
۵۰۰	۱۲/۰۲۳	۵/۰۸۸	۱۴/۱۸۶	۰/۷۷۹	۲/۲۷۳	۴۶/۸	۲/۸۱۹۰	۱/۱۷۹۹	۰/۰۶۴۸	۰/۳۴۲۷	
۵۴۰	۱۳/۲۲۹	۵/۹۳۲	۱۱/۸۶۴	۰/۸۲۱	۲/۰۳۵	۴۸/۸	۳/۳۷۲۰	۰/۱۹۰۱	۰/۰۶۱۶	۰/۳۲۳۹	
۶۰۰	۱۲/۲۱۵	۵/۵۸۷	۱۵/۰۲	۰/۷۴۵	۲/۲۹۸	۴۵/۲	۲/۵۹۲۵	۱/۲۲۹۶	۰/۰۶۱۰	۰/۳۲۴۲	
۶۲۰	۱۱/۴۳۱	۵/۱۳۷	۱۶/۰۹۲	۰/۷۰۲	۲/۰۴۸	۴۴/۹	۲/۴۲۹۹	۱/۴۰۷۸	۰/۰۶۱۴	۰/۳۴۲۸	
۶۵۰	۱۲/۸۷۶	۵/۵۰۵	۱۲/۳۸۱	۰/۸۴۵	۲/۰۳۲	۴۸/۹	۳/۲۷۸۹	۰/۹۶۱۶	۰/۰۶۵۶	۰/۳۶۴۲	
۷۲۰	۱۳/۵۶	۵/۹۷۶	۱۵/۰۹۹	۱/۰۸۷	۲/۶۴۷	۵۲/۳	۴/۱۱۷۰	۰/۷۳۹۹	۰/۰۷۹۶	۰/۴۱۰۷	
۷۴۰	۱۳/۹	۵/۷۲۹	۹/۴۸۱	۱/۲۱۶	۲/۰۵۷	۵۳/۳	۴/۴۴۴۰	۰/۶۸۲۱	۰/۰۷۵	۰/۴۷۹۳	
۸۰۰	۱۶/۳۹۲	۷/۵۸۴	۱/۷	۰/۹۴۵	۳/۰۹۵	۶۴/۴	۱۳/۶۶۵۱	۰/۱۰۳۷	۰/۰۵۷۷	۰/۳۰۵۳	
۹۳۰	۸/۹۷	۴/۱۴۲	۲۶/۷۳۵	۰/۵۷۹	۱/۴۴۹	۳۲/۲	۱/۱۲۹۸	۳/۰۸۳۶	۰/۰۶۸۹	۰/۴۶۴۴	
۱۰۰۰	۱۱/۵۹۱	۵/۳۰۳	۱۵/۸۹	۰/۶۲۷	۲/۱۱۵	۴۵/۱	۲/۴۶۸۷	۱/۳۷۰۹	۰/۰۵۴۱	۰/۲۹۶۵	
۱۰۷۰	۱۰/۲۸۶	۴/۵۴۷	۲۰/۰۲۸	۰/۵۷	۱/۷۱۶	۳۹	۱/۷۴۹۹	۱/۹۶۴۶	۰/۰۵۵۴	۰/۳۳۲۲	
۱۲۲۰	۱۴/۰۹۵	۹/۶۱۶	۹/۲۵۹	۰/۷۲۳	۲/۶۷۱	۵۱/۵	۴/۳۶۸۸	۰/۸۵۶۹	۰/۰۵۱۳	۰/۲۷۰۷	
۱۲۴۰	۱۲/۸۰۵	۶/۱۰۳	۱۳/۴۱	۰/۵۵۸	۲/۳۸۶	۴۵/۶	۲/۸۹۵۶	۱/۰۴۷۲	۰/۰۴۵۹	۰/۲۴۶۴	
۱۲۹۰	۱۲/۰۵۲	۵/۴۲۱	۱۳/۹۴۸	۰/۵۸۳	۲/۱۱۱	۴۵/۱	۲/۷۷۱۸	۱/۱۱۱۲	۰/۰۴۶۴	۰/۲۷۶۲	
۱۳۱۰	۱۱/۶۷۷	۵/۲۴	۱۵/۱۳۶	۰/۶۱۲	۲/۰۵۸	۴۵/۱	۲/۵۰۰۲	۱/۳۵۷۳	۰/۰۵۲۵	۰/۲۹۷۴	
۱۳۸۰	۱۳/۳۵	۵/۷۶۳	۱۱/۲۳۳	۰/۷۰۱	۲/۰۵۴	۴۹/۵	۳/۶۱۲۶	۰/۱۴۱۴	۰/۰۵۲۵	۰/۲۷۶۰	
۱۳۹۰	۱۳/۲۹۹	۵/۹۳۵	۱۱/۷۵۶	۰/۷۰۵	۲/۳۸۲	۴۸/۴	۳/۴۰۵۱	۰/۸۸۴۰	۰/۰۵۳۰	۰/۲۹۶۰	
۱۴۰۰	۱۳/۱۰۲	۵/۷۴۵	۱۱/۳۹۲	۰/۷۰۲	۲/۴۹۱	۴۸/۴	۳/۵۰۱۸	۰/۸۶۹۵	۰/۰۵۳۶	۰/۲۸۱۸	
۱۴۶۰	۱۳/۲۲۲	۵/۸۹۱	۱۱/۸۱۵	۰/۷۱	۲/۴۸	۴۷/۶	۳/۳۲۸۱	۰/۸۹۳۶	۰/۰۵۳۷	۰/۲۸۶۳	

ادامه جدول ۱ : نتایج به دست آمده از آنالیز ژئوشیمی برش رسوی نوده

عمق نمونه برداشتی (سانتیمتر)	Al ₂ O ₃	Fe ₂ O ₃	CaO	Na ₂ O	K ₂ O	SiO ₂	SiO ₂ /CaO+mgo	Cao/Al ₂ O ₃	Na ₂ O/Al ₂ O ₃	Na ₂ O/K ₂ O
۱۴۹۰۰	۱۲/۶۱۶	۵/۷۹۲	۱۳/۰۳۵	۰/۶۵	۲/۳۹۳	۴۵/۸	۲/۹۸۵۸	۱/۰۳۳۲	۰/۰۵۱۵	۰/۲۷۱۶
۱۰۱۰	۱۲/۶۹۱	۵/۸۳۴	۱۳/۸۱۱	۰/۷۱۹	۲/۲۶۴	۴۵/۶	۲/۸۱۷۸	۱/۰۸۸۳	۰/۰۵۶۷	۰/۳۱۷۶
۱۰۳۰	۱۲/۸۵۳	۵/۹۱۴	۱۱/۳۸۲	۰/۶۸۳	۲/۴۲۲	۴۸/۱	۳/۴۸۵۲	۰/۸۸۵۶	۰/۰۵۳۱	۰/۲۸۰۸
۱۰۴۰	۱۳/۲۲۱	۵/۸۳۹	۱۱/۸۳۸	۰/۶۵۸	۲/۳۵۴	۴۸	۰/۳۷۳۹	۰/۸۹۵۴	۰/۰۴۹۸	۰/۲۷۹۵
۱۰۰۰	۱۲/۹۴	۵/۶۴۸	۱۲/۶۲۴	۰/۶۶۸	۲/۳۰۴	۴۶/۶	۳/۱۰۹۲	۰/۹۷۵۶	۰/۰۵۱۶	۰/۲۸۹۹
۱۶۴۰	۱۴/۴۶۳	۷/۱۳	۶/۹۰۸	۰/۷۳۷	۲/۷۲۴	۵۳/۷	۵/۷۴۵۱	۰/۴۷۷۶	۰/۰۵۱۰	۰/۲۷۰۶
۱۶۷۰	۱۴/۴۸	۶/۶۶۹	۵/۵۴۱	۰/۷۲۵	۲/۶۱۹	۵۶/۲	۷/۱۰۰۲	۰/۳۷۲۶	۰/۰۴۸۸	۰/۲۷۶۸
۱۷۲۰	۱۳/۵۳۲	۵/۶۵	۱۱/۱۸۳	۰/۷۰۳	۲/۲۷۵	۴۹/۲	۳/۹۱۹۶	۰/۸۲۶۴	۰/۰۵۲۰	۰/۳۰۹۰
۱۷۵۰	۱۱/۴۶۵	۵/۰۵۴	۱۶/۴۶۱	۰/۶۱۴	۱/۹۰۳	۴۴/۸	۲/۴۰۴۸	۱/۴۳۵۸	۰/۰۵۳۶	۰/۳۲۲۶
۱۸۴۰	۱۳/۲۶۲	۵/۹۵۵	۱۰/۵۴۶	۱/۰۶۴	۲/۴۶۵	۵۱	۳/۸۱۹۲	۰/۷۸۹۳	۰/۰۷۹۶	۰/۴۴۹۹
۱۸۶۰	۱۴/۳	۵/۹۸	۸/۲۴	۰/۹	۲/۳۸	۵۳/۵	۵/۰۰۶۶	۰/۵۷۶۲	۰/۰۶۲۹	۰/۳۷۸۲
۱۹۲۰	۱۶/۲۷	۷/۲۸۲	۲/۳۳۱	۰/۹۲۷	۳/۰۲۲	۵۷/۹	۱۱/۴۵۴۷	۰/۱۴۳۳	۰/۰۵۷۰	۰/۳۰۶۸
۱۹۳۰	۱۶/۰۸۱	۶/۹۸۳	۲/۴۴۲	۰/۹۴۲	۲/۹۸۱	۵۸/۱	۱۱/۱۸۶۹	۰/۱۵۱۲	۰/۰۵۸۰	۰/۳۱۲۶
۱۹۴۰	۱۶/۰۲۹	۶/۹۵۵	۲/۹۸۷	۰/۸۰۵	۲/۸۰۱	۵۸/۳	۱۰/۲۹۵۱	۰/۱۸۶۳	۰/۰۵۰۲	۰/۲۸۷۷
۱۹۷۰	۱۰/۴۰۳	۴/۶۱۸	۲۲/۰۵۵	۰/۶۵۳	۱/۸۷۴	۳۶/۴	۱/۵۱۱۲	۲/۱۲۰۱	۰/۰۶۲۸	۰/۳۴۸۵
۱۹۸۰	۱۱/۰۵۵	۴/۵۵۳	۱۸/۷۹۸	۰/۶۸۹	۱/۸۵	۴۱/۱	۱/۹۶۷۴	۱/۷۰۰۴	۰/۰۶۲۳	۰/۳۷۲۴
۱۹۹۰	۱۱/۷۴۴	۴/۹۵۲	۱۷/۸۰۸	۰/۷۲	۱/۷۷	۴۱/۸	۲/۱۲۴۴	۱/۴۹۹۱	۰/۰۶۱۳	۰/۴۰۶۸
۲۰۳۰	۱۵/۳۷۲	۶/۹۴۹	۶/۱۹۱	۰/۷۵۷	۲/۶۹۱	۵۳/۴	۶/۱۳۵۱	۰/۴۰۲۷	۰/۰۴۹۲	۰/۲۸۱۳
۲۰۷۰	۱۲/۹۴	۵/۷۹۶	۱۳/۱۸۹	۰/۶۲۶	۱/۸۷۶	۴۶/۲	۳/۰۳۵۵	۱/۰۱۹۲	۰/۰۴۸۴	۰/۳۳۳۷
۲۰۸۰	۱۳/۷۱۸	۷/۱۵۵	۹/۶۳۴	۰/۶۰۷	۲/۲۹۲	۴۹/۷	۴/۲۵۲۰	۰/۷۰۲۳	۰/۰۴۲۲	۰/۲۶۴۸
۲۱۲۰	۱۳/۶۶۶	۶/۰۱۷	۱۰/۷۰۵	۰/۶۷۴	۲/۳۵۹	۴۹/۳	۳/۷۴۴۰	۰/۷۸۳۳	۰/۰۴۹۳	۰/۲۸۵۷
۲۱۳۰	۱۳/۸۹۲	۶/۲۲۱	۱۰/۳۴۷	۰/۶۶۸	۲/۴۹۷	۴۹/۸	۳/۹۱۰۲	۰/۷۴۴۴	۰/۰۴۹۵	۰/۲۸۷۰
۲۱۴۰	۱۳/۷۹۶	۶/۰۳۲	۱۱/۶۷۳	۰/۶۶۴	۲/۳۲۶	۴۸/۹	۳/۴۶۹۵	۰/۱۸۴۱	۰/۰۴۸۱	۰/۲۸۵۵
۲۱۵۰	۱۴/۲۸۴	۶/۰۹	۹/۴۱۲	۰/۶۶۷	۲/۳۹۷	۵۱/۴	۴/۳۴۵۵	۰/۱۶۰۹	۰/۰۴۶۷	۰/۲۷۸۳
۲۱۷۰	۱۵/۶۳	۷/۰۹۷	۶/۰۵۲۲	۰/۵۹۷	۲/۶۱۴	۵۲/۶	۵/۱۸۶۲۰	۰/۴۱۷۹	۰/۰۳۸۲	۰/۲۲۸۴
۲۱۸۰	۱۶/۲۱۶	۷/۲۳۳	۴/۲۱۵	۰/۵۶۳	۲/۶۹۷	۵۴/۸	۸/۰۶۹۹	۰/۲۵۹۹	۰/۰۳۴۷	۰/۲۰۸۸
۲۲۱۰	۱۲/۳۷۵	۶/۱۸۱	۱۵/۴۴۷	۰/۶۰۸	۱/۹۷۲	۴۲/۸	۲/۴۴۳۵	۱/۲۴۸۲	۰/۰۴۹۱	۰/۳۰۸۳
۲۲۲۰	۱۴/۰۶۴	۶/۴۳	۸/۰۳۶	۰/۶۷۳	۲/۵۲۸	۵۱/۶	۴/۴۸۵۸	۰/۶۰۶۹	۰/۰۴۷۹	۰/۲۶۶۲
۲۲۳۰	۱۳/۲۲۶	۵/۹۸۵	۱۱/۵۴۷	۰/۶۷۸	۲/۳۸۴	۴۸/۸	۳/۴۲۳۸	۰/۱۷۳۱	۰/۰۵۱۳	۰/۲۸۴۴
۲۲۶۰	۱۳/۵۶۶	۵/۹۸۳	۱۱/۳۲۶	۰/۶۳۷	۲/۳۸۸	۴۸/۸	۳/۵۵۳۳	۰/۱۳۴۹	۰/۰۴۷۰	۰/۲۶۶۸
۲۲۲۰	۱۳	۵/۷۲۶	۱۲/۵۶۴	۰/۶۹۲	۲/۲۹۷	۴۷/۶	۳/۱۶۳۳	۰/۹۶۶۵	۰/۰۵۳۲	۰/۳۰۱۳
۲۲۳۰	۱۳/۴۰۶	۵/۶۶۵	۱۱/۲۷۷	۰/۶۶۱	۲/۲۴۸	۴۸/۵	۳/۵۳۶۶	۰/۱۸۴۰۸	۰/۰۴۹۳	۰/۲۹۴۰
۲۲۴۰	۱۳/۴۷۹	۵/۸۲۷	۱۱/۱۷۶	۰/۶۸	۲/۳۵۸	۴۸/۸	۳/۵۷۸۱	۰/۱۲۹۱	۰/۰۵۰۴	۰/۲۸۸۴
۲۲۵۰	۱۳/۲۳۲	۵/۴۳۷	۱۰/۷۴۵	۰/۶۴۶	۲/۱۵۶	۴۸/۴	۳/۹۹۲۸	۰/۱۸۱۲۰	۰/۰۴۸۸	۰/۲۹۹۶

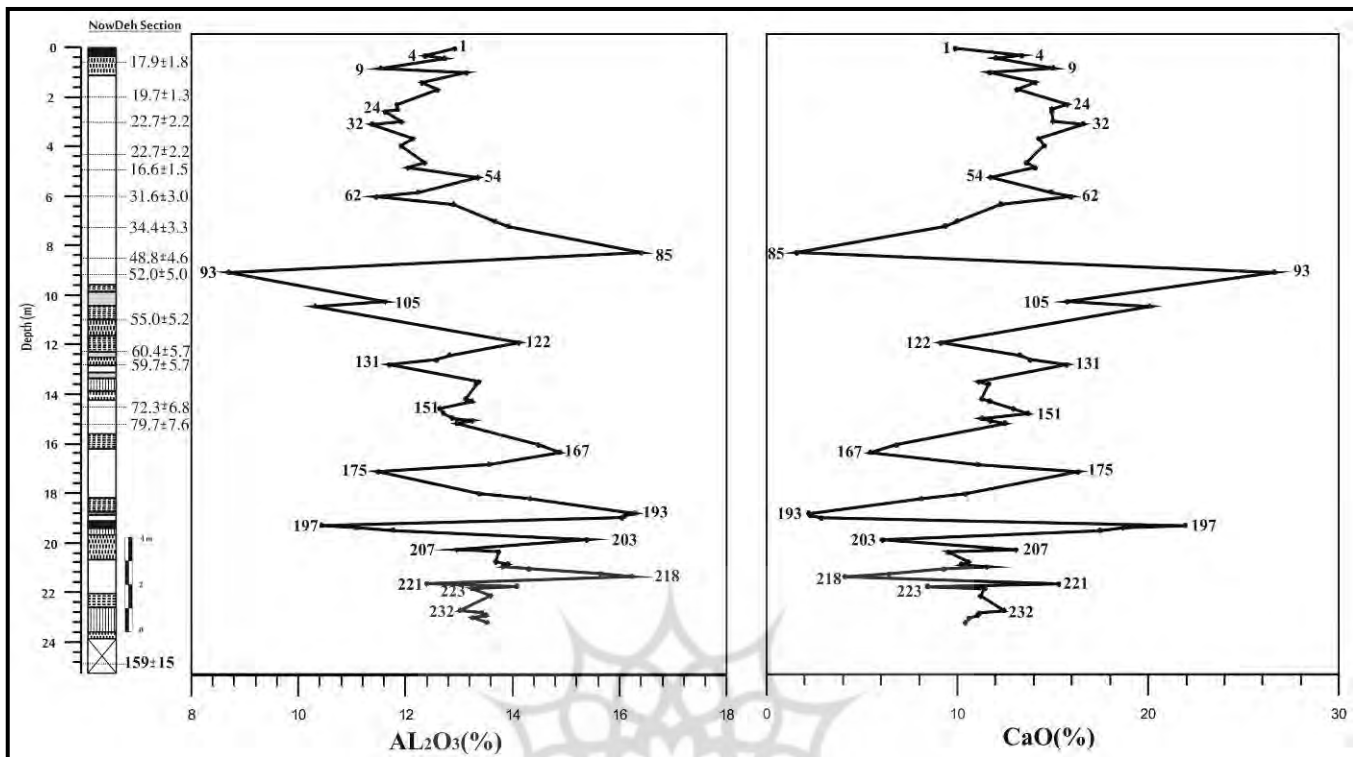
۲۳۷۰	۱۳/۵۰۴	۵/۶۳۷	۱۰/۵۴۲	۰/۶۵۷	۲/۳۶۲	۴۸/۷	۳/۷۶۴۵	۰/۷۸۰۷	۰/۰۴۸۷	۰/۲۷۸۲
------	--------	-------	--------	-------	-------	------	--------	--------	--------	--------

شکل ۴ مقادیر اندازه‌گیری شده Al_2O_3 و Fe_2O_3 بر روی نوده را نشان می‌دهد. همان طور که ملاحظه می‌شود میزان تغییرات این دو اکسید عناصر اصلی با هم هماهنگ است. این هماهنگی افزایش یا کاهش به خصوص در عمق‌های $2/5$ متری تا $۲۳/۷$ متری به خوبی نمایان است. به عنوان مثال در عمق $۸/۵$ متری که نمونه شماره ۸۵ می‌باشد، هر دو عنصر اکسید آلمینیوم و اکسید آهن یک افزایش و به دنبال آن یک کاهش ناگهانی را داشته‌اند. رخداد چنین تغییراتی در حدود ۳۴ تا ۵۲ هزار سال گذشته رخ داده است. این نوع همخوانی بین اکسیدهای آلمینیوم و آهن در ۶۰ و ۷۲ هزار سال گذشته نیز وجود دارد.



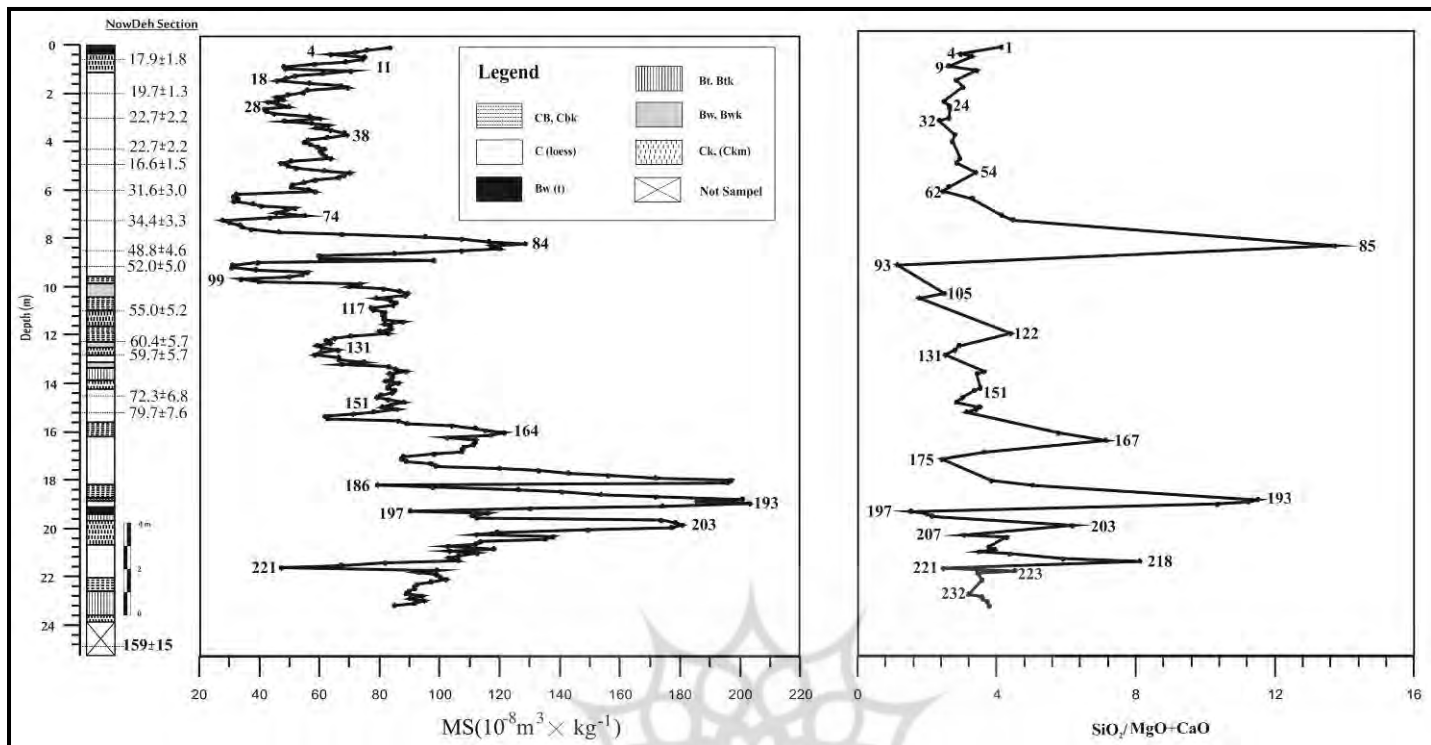
شکل ۴ تغییرات در صد Al_2O_3 و Fe_2O_3 نسبت به واحدهای رسوبی در ستون چینه‌ای

اکسید آلمینیوم یک کانی انحلال ناپذیر بوده و عنصر اکسید کلسیم یک عنصر انحلال پذیر است. بر اساس شکل ۵ مشاهده می‌شود که میزان این دو کانی در دوره‌های زمانی و در عمق‌های مختلف بر عکس یکدیگر است. به عبارت دیگر هر جا میزان اکسید آلمینیوم بیشتر بوده مقدار اکسید کلسیم کاهش یافته که این موضوع با توجه به ماهیت این دو کانی، شرایط اقلیمی متفاوت را نشان می‌دهد. ۱۷ هزار سال پیش در میزان اکسید آلمینیوم روند کاهشی وجود دارد که دقیقاً در این زمان، میزان اکسید کلسیم روند افزایشی را داشته و نشان از عکس العمل متفاوت این دو عنصر در برابر شرایط محیطی است. این نوع از اکنش‌های متفاوت این دو عنصر در عمق‌های پایین تر به ویژه در ۴۸ و ۵۲ هزار سال گذشته دیده می‌شود.

شکل ۵: تغییرات درصد Al_2O_3 و CaO در برابر ستون چینه‌ای نوده

یکی از تفاوت‌های هوادگی واحدهای لس و لایه‌های خاک‌دیرینه، میزان حضور عناصر اصلی هستند. لذا مقادیر متفاوت این عناصر می‌تواند راهگشای خوبی برای تفسیر آب و هوا گذشته باشد. در این بخش نسبت اکسید سیلیس به نسبت سیلیس/اکسید کلسیم+اکسید منیزیم با میزان پذیرفتاری مغناطیسی مقایسه شده است. هماهنگی زیادی در این مورد دیده می‌شودو به طوری که با افزایش یا کاهش میزان پذیرفتاری مغناطیسی این نسبت نیز همزمان زیاد یا کم می‌شود (شکل ۶). به عبارت دیگر این دو مقدار هم‌دیگر را تایید می‌کنند. این تایید در عمق $8/5$ و $19/3$ متری به خوبی آشکار است.

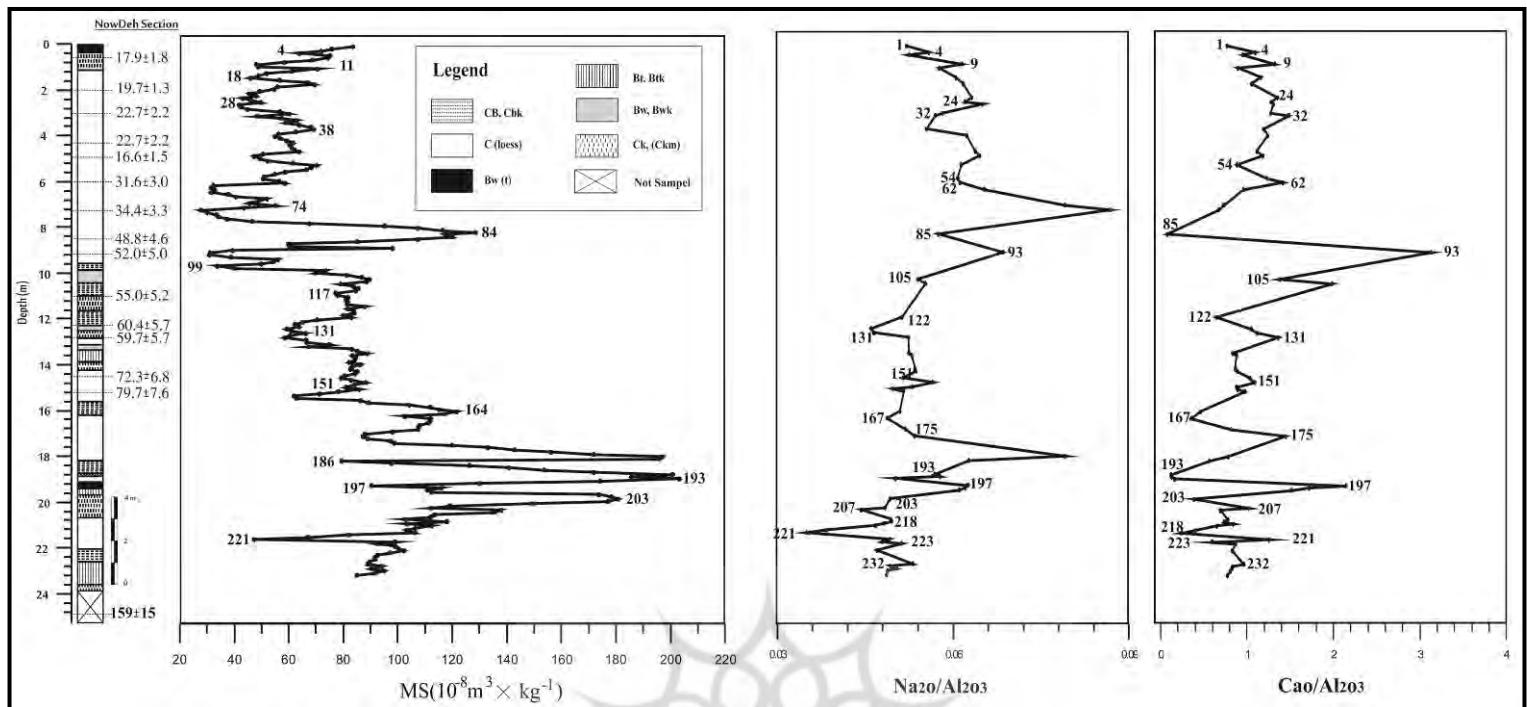
پرتابل جامع علوم انسانی



شکل ۶: تغییرات درصد نسبت $\text{SiO}_2/\text{MgO}+\text{CaO}$ در برابر واحدهای رسوبی ستون چینهای نوده

در مطالعات لس، چندین نسبت شیمیایی از قبیل $\text{Na}_2\text{O}/\text{Al}_2\text{O}_3$ و $\text{CaO}/\text{Al}_2\text{O}_3$ برای بازسازی آب و هوای گذشته پیشنهاد می‌شوند (Liu, et al., 1985, 200; Liu T. S. et al., 1995, 145). شکل ۷ تغییرات نسبت اکسید سدیم به اکسید الومینیوم و نسبت اکسید کلسیم به اکسید الومینیوم در برابر پذیرفتاری مغناطیسی برش رسوبی نوده را نشان می‌دهد. در عمق‌های پایین این دو پارامتر با میزان پذیرفتاری مغناطیسی همخوانی خوبی را نشان می‌دهند. هر چند میزان و شدت هر یک از این نمودارها با هم یکسان نیست، اما مشابهت‌های زیادی در نوع تغییر در برش را نشان می‌دهند.

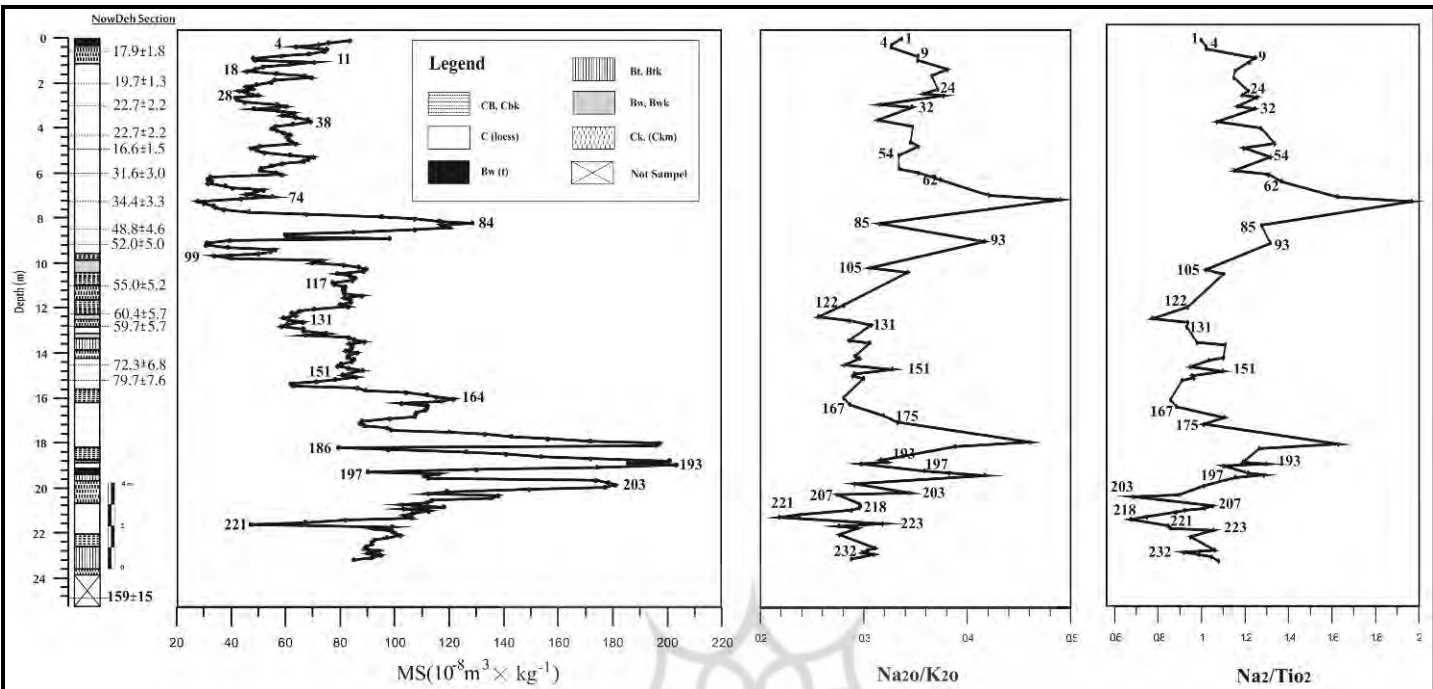
پرستال جامع علوم انسانی



شکل ۷: تغییرات نسبت اکسید سدیم به اکسید الومینیوم و نسبت اکسید کلسیم به اکسید الومینیوم در برابر پذیرفتاری مغناطیسی برش رسوی نوده

شرایط آب و هوای مرطوب مقادیر نسبت‌های $\text{Na}_2/\text{K}_2\text{O}$ و Na_2/TiO_2 در توالی‌های لس/خاک‌دیرینه را پایین آورده و بیانگر کاهش رطوبت در محیط است.

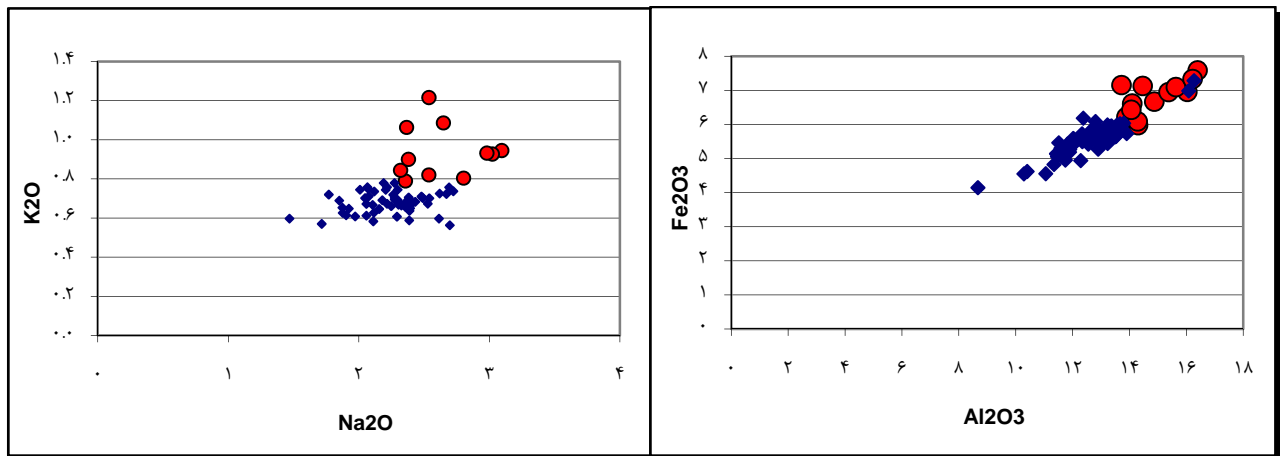
یکی دیگر از نسبت‌های مورد استفاده در این تحقیق، نسبت‌های $\text{Na}_2/\text{K}_2\text{O}$ و Na_2/TiO_2 است. همان طور که در شکل ۸ دیده می‌شود این نسبت‌ها با افزایش میزان پذیرفتاری مغناطیسی نسبت عکس داشته و با افزایش میزان پذیرفتاری مغناطیسی نسبت‌های $\text{Na}_2/\text{K}_2\text{O}$ و Na_2/TiO_2 کاهش یافته و بالعکس با کاهش آن این نسبت‌ها افزایش می‌یابد. لذا استفاده از این نسبت‌ها و تغییرات آنها در طول زمان می‌تواند در بازسازی آب و هوای گذشته مفید باشد. به طوری که در شکل زیر دیده می‌شود در عمق ۱۸/۶ متری میزان پذیرفتاری مغناطیسی افزایش یافته استدر صورتی که دقیقا در همین عمق مقادیر ذکر شده کاهش یافته است. لذا نتایج پذیرفتاری مغناطیسی و ژئوشیمی رسویات لسی همچوانی بالایی با هم دارند



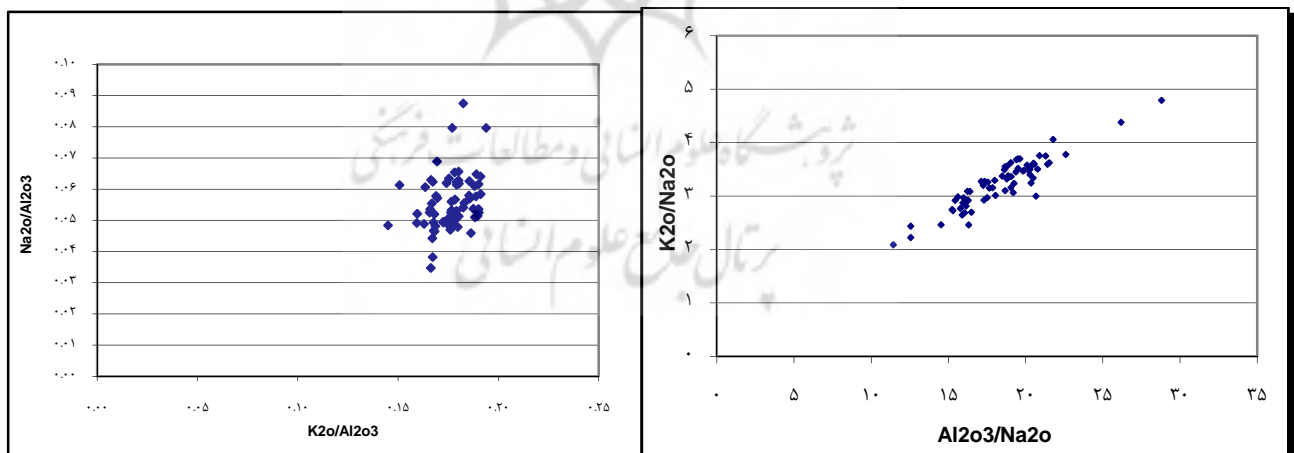
شکل ۸: تغییرات نسبت اکسید سدیم به اکسید پتاسیم و نسبت اکسید سدیم به اکسید تیتانیوم در برابر پذیرفتاری مغناطیسی برش رسوی نوده

از جمله تجزیه و تحلیل‌هایی که برای بررسی آب و هوای دیرینه به کار برده می‌شود استفاده از نمودار نسبت‌های عناصر به صورت نقطه‌ای می‌باشد. با انحلال و حذف عناصر انحلال‌پذیر در رسوبات لس، نسبت عناصر انحلال‌پذیر به عناصر نسبتاً انحلال ناپذیر (TiO_2 و Al_2O_3 و Fe_2O_3) تغییر می‌کنند، که به عنوان نشانه‌ای از وقوع چرخه‌های آب و هوایی به کار برده می‌شوند (Smykatz-Kloss & Roy, 2010, 382).

همانگونه که در شکل ۹ الف مشاهده می‌شود، مطابق انتظار نمونه‌هایی که متعلق به لایه‌های خاک دیرینه در برش رسوی نوده هستند، مقادیر Na_2O و K_2O کمتری را نشان می‌دهند. در عوض در شکل ۹ ب، این نمونه‌ها دارای مقادیر بالایی از عناصر انحلال ناپذیر مانند Fe_2O_3 و Al_2O_3 هستند. به عبارتی دیگر در طی دوره‌های مختلف زمانی، شرایط آب و هوایی متفاوتی رخ داده که منجر به خروج عناصر انحلال‌پذیر و یا افزایش آنها در محیط شده است. لایه‌های لس تشکیل شده دارای مقادیر زیادی از عناصر انحلال‌پذیر، از قبیل اکسید سدیم و اکسید پتاسیم هستند. لذا با توجه به حضور بالای این عناصر در لایه‌های لس می‌توان گفت شرایط محیطی خشک حاکم و بوده و تجزیه شیمیایی در محیط صورت نپذیرفته است. برخلاف لایه‌های لس، در لایه‌های خاک دیرینه این عناصر به دلیل تجزیه شیمیایی و شستشو، از محیط خارج شده و مقدار کمی را نشان می‌دهند.

شکل ۹ الف: تغییرات درصد Al_2O_3 در مقابل تغییرات درصد K_2O شکل ۹ ب: تغییرات تغییرات درصد Na_2O در مقابل تغییرات درصد Fe_2O_3

از دیگر نسبت‌هایی که برای مطالعه داده‌های ژئوشیمیایی و ارتباط آن‌ها با رسوبات به کار برده می‌شود، نسبت $\text{K}_2\text{O}/\text{Na}_2\text{O}$ در مقابل نسبت $\text{Na}_2\text{O}/\text{Al}_2\text{O}_3$ است، که به عنوان میزان بلوغ کانی شناسی و شیمیایی رسوبات به کار برده می‌شوند. با پیشروی فرآیندهای هوازدگی، و باقیماندن یا تشکیل عناصر پایدار مانند: Al_2O_3 در رسوبات هوازده، این نسبت‌ها تغییر می‌کنند. با افزایش فراوانی Al_2O_3 میزان بلوغ کانی شناسی و شیمیایی در رسوبات بالاتر می‌رود (Pettijohn, 1957: 388; Adamova et al., 2002: 38). در طول تشکیل رسوبات از سنگ مادر، مقدار Na جدا شده در حالی که میزان K در رسوبات حفظ می‌شود. شکل ۱۰ الف و ب نشان می‌دهد که مقدار Na در تمامی نمونه‌ها کاهش یافته است.

شکل ۱۰ ب: تغییرات نسبت $\text{Na}_2\text{O}/\text{Al}_2\text{O}_3$ در مقابل نسبت $\text{K}_2\text{O}/\text{Al}_2\text{O}_3$ شکل ۱۰ الف: تغییرات نسبت $\text{K}_2\text{O}/\text{Na}_2\text{O}$ در مقابل نسبت $\text{Al}_2\text{O}_3/\text{Na}_2\text{O}$

بحث و نتیجه گیری

تناوب لس-خاک دیرینه یکی از شواهد مفید برای آشکارسازی رویدادهای آب و هوای، زمین‌شناسی و زیست محیطی در طول دوران کواترنر به شمار می‌آید. از این رو یکی از منابع مهم ثبت تغییرات اقلیمی بر روی خشکی‌ها هستند. در این پژوهش دو روش پذیرفتاری مغناطیسی و ژئوشیمی عناصر اصلی و تلفیق این دو روش با هم برای بازسازی آب و هوای گذشته مورد استفاده قرار گرفت.

با توجه به شکل ۳ در برش رسوبات نوده، توالی لایه‌های قهقهه‌ای تیره و روشن خاک‌های دیرینه در داخل لس‌ها،

فرایندهای متفاوتی از آب و هوا نشان می‌دهند که بسیار شبیه دوره‌های یخچالی و بین یخچالی در اواسط و اواخر پلیستوسن است. خاک‌های دیرینه برش نوده نسبت به لس‌ها، پذیرفتاری مغناطیسی بالایی از خود نشان می‌دهند. این میزان در عمق‌های پایین و یا قدیمیتر، بیشتر دیده می‌شود که نشان از تغییرات زیاد آب و هوا در آن دوران بوده است. در عمق حدود ۲۱ متری میزان پذیرفتاری مغناطیسی کاهش قابل توجهی یافته است که نشان از یک دوره سرد و خشک در این زمان بوده است. همچنین بر اساس نمودار پذیرفتاری مغناطیسی حدود ۸ دوره افزایش پذیرفتاری مغناطیسی در رسوبات برش نوده دیده می‌شود که نشان از افزایش میزان دما و رطوبت است. لازم به ذکر است که در هر کدام از مقاطع لُسی استاندارد جهان، همیشه خاک‌های دیرینه با توجه به فرایندهای خاک زایی و افزایش اکسیداسیون، دارای میزان پذیرفتاری مغناطیسی بیشتری نسبت به لایه‌های لُس همچوار خود هستند (Maher, 2011: 128).

واحدهای لُس در دوره‌های آب و هوایی سرد و خشک تشکیل شده و منبع کانی‌های مغناطیسی پاسخ گو به آزمایشات محیط مغناطیسی نیز، تنها از منبع بادرفت‌ها تأمین شده است. درحالیکه در لایه‌های خاک دیرینه به دلیل افزایش مقادیر پذیرفتاری مغناطیسی، باید علاوه بر کانی‌های مغناطیسی که از منبع بادرفتی تأمین شده‌اند، کانی‌های مغناطیسی عمده (اکسیدهای آهن خاک) به عنوان محصولات هوازدگی رسوبات و در اثر پیشرفت فرآیندهای تشکیل خاک‌های دیرینه، به صورت درجا تشکیل شده باشند. مطالعات و بررسی‌های انجام شده بر روی پارامتر قابلیت پذیرفتاری مغناطیسی تأییدی بر این مدعای است (Maher, 2011, 110., Spassov, 2002, 12).

عناصر اصلی خاک‌های دیرینه می‌توانند به واسطه غلظت بالای اکسید سیلیس (SiO_2) (۳۲/۲ تا ۳۸/۰) و اکسید آلومینیوم (Al_2O_3) (۸/۶۷ تا ۱۶/۳۹) و غلظت پایین اکسید کلسیم (CaO) (۱/۷ تا ۲/۶۷) و اکسید منیزیم (MgO) (۱/۷ تا ۲/۹۶) از لس‌ها تشخیص داده شوند. تفاوت شیمیایی بین لس و خاک دیرینه ممکن است در اصل به دلیل انحلال کربنات از خاک دیرینه در طول دوره خاکزایی به سبب افزایش دما و بارش در دوره‌های بین یخچالی باشد. کانی‌های رسی به دلیل وجود ترکیب و ساختار ورقه‌ای خود، به طور معمول دارای مقادیر بالایی از Al_2O_3 و Fe_2O_3 (کانی‌های رسی) در مقایسه با آلومینوسیلیکات‌های سنگ منشاً اولیه خود هستند. تغییرات در مقادیر Al_2O_3 و Fe_2O_3 (کانی‌های رسی) و تغییرات در مقادیر CaO و MgO (کلسیت و دولومیت) موجود در رسوبات، بیانگر انحلال کربنات‌ها هستند، زیرا مقادیر کربناتی رسوبات با مقادیر کانی‌های رسی نسبت معکوس دارند در دوره‌های اقلیمی گرم و مرطوب مقادیر کانی‌های رسی زیاد شده و در دوره‌های سرد و خشک که همراه با رسوب‌گذاری لس‌ها است، این مقادیر کاهش می‌یابد. لذا مقدار این دو کانی می‌تواند در بازسازی دوره‌های گذشته اقلیمی رسوبات لسی پارامترهای مهمی به شمار آیند. (Muhs and Bettis, 2000, 55).

میزان اکسید آلومینیوم و اکسید آهن در دوره‌های گرم و مرطوب زیاد و در دوره‌های اقلیمی سرد و خشک کم مشاهده شد. این دو عنصر جزء عناصر انحال ناپذیر و پایدار هستند و در شرایط اقلیمی سرد و خشک با افزوده شدن عناصری از قبیل اکسید کلسیم که یک عنصر ناپایدار و انحلال پذیر است، غلظت این عناصر کاهش یافته و نشانه‌ای از گسترش دوره‌های یخچالی است.

همانگونه که توضیح داده شد، افزایش Al_2O_3 ، که یک کانی انحلال ناپذیر و نسبتاً پایدار است، در برابر کاهش کانی CaO که انحلال پذیر و ناپایدار در برابر فرآیندهای هوازدگی می‌باشد، به معنای افزایش هوازدگی شیمیایی

رسوبات تحت شرایط گرم و مرطوب دوره‌های بین‌یخچالی است (شکل ۵). بر اساس این شکل مشاهده می‌شود که میزان این دو کانی در دوره‌های مختلف زمانی بر عکس یکدیگر است. در دوره‌های اقلیمی گرم و مرطوب به دلیل پایدار بودن Al_2O_3 ، میزان این کانی افزایش یافته و بر عکس در دوره‌های سرد و مرطوب این مقدار کاهش می‌یابد. این در حالی است که کانی CaO به دلیل انحلال پذیر بودن و ناپایداری در دوره‌های گرم و مرطوب حل شده و از محیط خارج می‌شود و در دوره‌های سرد و خشک میزان آن افزایش می‌یابد.

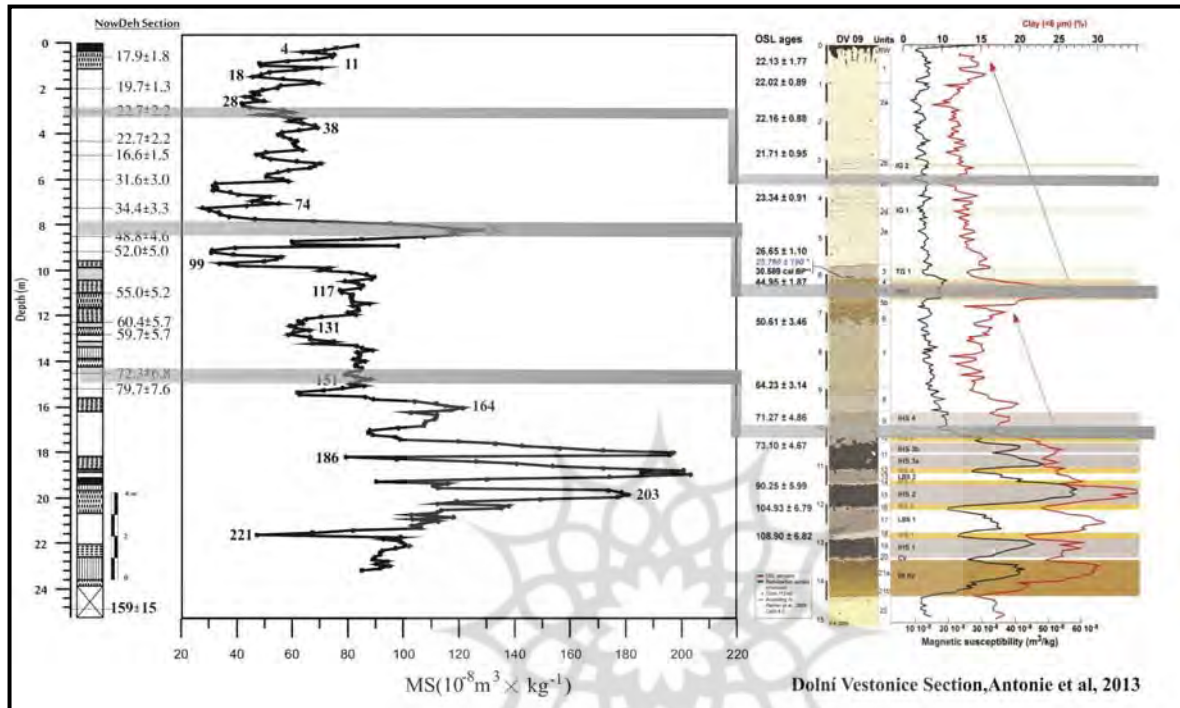
خاک‌های دیرینه به دلیل هوازدگی شیمیایی شدیدتر، می‌توانند با مقادیر بالاتری از SiO_2 و Al_2O_3 و مقادیر کمتر CaO و MgO از لس‌ها تشخیص داده شوند (Ding et al., 2001, 63). از این‌رو زمانیکه نسبت SiO_2 به $\text{MgO}+\text{CaO}$ افزایش می‌یابد، بیانگر وقوع هوازدگی شیمیایی شدید ناشی از آب و هواست گرم و مرطوب است (شکل ۶). بر اساس این شکل مشاهده می‌شود که دوره‌های گرم و مرطوب که همراه با خاکزایی و تشکیل خاک‌های دیرینه بوده است با افزایش نسبت سیلیس/اکسید کلسیم+اکسید منیزیم همراه بوده و با کاهش این نسبت، اقلیم سرد و خشک در منطقه حاکم بوده است.

تغییرات نسبت $\text{CaO}/\text{Al}_2\text{O}_3$ هم راستا با خصوصیات تشکیل خاک کامل، دامنه زیاد تغییر پذیری را نشان می‌دهد. این تغییرات در عمق ده متری برش مورد مطالعه بسیار زیاد است. این نسبت ثبت شده اشاره به این دارد که عنصر انحلال پذیر Ca بسیار حساس به تغییرات اقلیم بوده و بالاصله عکس العمل نشان می‌دهد. بنابر این این نسبت عناصر ذکر شده می‌تواند در بازسازی آب و هوا گذشته کواترنر مورد استفاده قرار گیرد. هچنین تغییرات $\text{Na}_2\text{O}/\text{Al}_2\text{O}_3$ در محدوده برش نوده مطابق با تغییرات شدت هوازدگی خاک در سایر نسبت‌های شیمیایی است.

شرایط آب و هواستی مرطوب مقادیر نسبت‌های Na_2/TiO_2 و $\text{Na}_2/\text{K}_2\text{O}$ در توالی‌های لس/خاک دیرینه را پایین آورده و بیانگر کاهش رطوبت در محیط است. به طوری که در شکل ۸ دیده می‌شود در عمق ۱۸/۶ متری میزان پذیرفتاری مغناطیسی که نمایانگر شرایط آب و هواستی گرم و مرطوب است، افزایش یافته است. دقیقاً در همین عمق مقادیر ذکر شده کاهش یافته که کاهش آنها نمایانگر دوره‌های گرم و مرطوب است. لذا نتایج پذیرفتاری مغناطیسی و ژئوشیمی رسوبات لسی همخوانی بالایی با هم داشته و پارامترهای مناسبی برای بررسی تغییرات اقلیم گذشته هستند. از مقایسه نمودار مغناطیسی- ژئوشیمیایی عناصر اصلی این گونه استنباط می‌شود که پاسخ‌های بدست آمده از بررسی تغییرات نسبت‌های آب و هواستی ژئوشیمیایی با تغییرات پذیرفتاری مغناطیسی مشابه دارند. با توجه به این بررسی‌ها، شرایط مناسب تشکیل خاک (همزمان با تولید درجا برخی از اکسیدها از جمله Al_2O_3 و Fe_2O_3)، سبب افزایش قابلیت پذیرفتاری مغناطیسی خاک‌های دیرینه شده است. تولید بر جای کانی‌های مغناطیسی قوی که در افزایش پذیرفتاری مغناطیسی خاک‌های دیرینه مؤثر هستند، احتمالاً در اثر افزایش رطوبت، هوازدگی و پیشرفت فرآیندهای تولید و تشکیل خاک‌ها به وقوع پیوسته است.

نتایج به دست آمده از تحقیق حاضر با نتایج حاصل از تحقیق Antoine and et al در سال ۲۰۱۳ بر روی نهشته‌های لس-پائوسول اروپای مرکزی رابطه نزدیکی به خصوص در حدود ۴۶ هزار سال اخیر را نشان می‌دهد. به طوری که در شکل ۱۱ دیده می‌شود در حدود ۴۶ هزار سال گذشته یک تغییر در وضعیت اقلیمی دو منطقه به وجود آمده است. این تغییر در هر دو منطقه به صورت افزایش میزان پذیرفتاری مغناطیسی ثبت شده است که بر اساس یافته‌های قبلی نشان از یک آب و هواستی گرم و مرطوب در این دوران بوده است. همچنین در حدود ۲۲/۷ هزار سال گذشته نیز در هر دو منطقه میزان پذیرفتاری کاهش نشان می‌دهد که بیانگر ظهور آب و هواستی سرد و خشک در این

دوران است. هر چند رسوبات قدیمی تر نیز رابطه خوبی با تغییرات آب و هوا در اروپای مرکزی و منطقه نوده دیده می‌شود، اما به دلیل نداشتن سن یا بی رادیومتریک در رسوبات قدیمی تر اظهار نظر در این مورد کمی با شک و تردید می‌باشد.



شکل ۱۱: مقایسه تغییرات پذیرفتاری مغناطیسی برش نوده و برش دولنی وستونیک(Dolní Vestonice) در اروپای مرکزی

نتایج به دست آمده از این تحقیق با نتایج Chlachula and Little (۲۰۱۱) که به بررسی وضعیت اقلیمی لس-های جنوب غربی سیبری پرداخته‌اند، همخوانی زیادی را نشان می‌دهد. به طوری که دوره‌های سرد و گرم به خصوص در ۳۲ هزار سال اخیر این دو برش هماهنگی زیادی را داشته و نتایج ما نیز دوره‌های مختلف اقلیمی رخ داده در جنوب غربی سیبری را تایید می‌نماید. میزان پذیرفتاری مغناطیسی در دو برش لسی نوده و اسکیتیم بسیار شبیه به هم بوده اقلیم‌های مشابهی در این دو ناحیه ثبت شده است.

همچنین نتایج آزمایشات ژئوشیمی برش نوده با نتایج تحقیق Ding and Muhs and Bettis Smykatz-Kloss & Roy در سال ۲۰۰۰ و ۲۰۱۰ همخوانی خوبی را نشان می‌دهد. میزان اکسید کلسیم، اکسید سدیم و اکسید منیزیم در رسوبات خاک دیرینه کم و در رسوبات لسی بیشتر است، در این تحقیق نیز نتایج به دست آمده گفته‌های آنها را تایید نموده و این عناصر به دلیل انحلال پذیر بودن در آب و هوای گرم و مرطوب حل شده و از رسوبات خارج می‌شوند. در حالی که اکسید آهن و اکسید آلومینیوم با توجه به پایدار بودن در دوره‌های اقلیمی گرم و مرطوب بیش از دوره‌های سرد و خشک هستند.

همان طور که ضیایی و همکاران در سال ۱۳۹۲ و الماسی و همکاران در سال ۱۳۸۵ بیان کردند، در خاک‌های دیرینه وجود رس‌های هوادیده‌ای مانند اسمنتکیت در مقادیر بیشتر، ورمی کولیت و کانی‌های مختلط اسمنتکیت-ایلیت بیانگر شرایط مرطوب تر و مساعد هوادیدگی در عصر بین یخچالی است و حضور رس‌های اولیه و بدون تحول در

لس ها شرایط سرد و خشک یخچالی را تأیید می نماید. در تحقیق حاضر نیز با توجه به نتایج به دست آمده این موضوع مورد تایید قرار گرفت. همچنین نتایج تحقیق قازانچایی و همکاران (۱۳۸۷) در خصوص بررسی خصوصیات میکرومورفولوژیک توالی لس-پالئوسل منطقه ناهارخوران گرگان نیز تایید کننده نتایج این تحقیق در مورد تشکیل لس ها در آب و هوای سرد و خشک و خاک های دیرین در شرایط گرم و مرطوب است. نتایج تحقیق مهدی پور و همکاران در سال ۱۳۹۱ در زمینه لس های نکا نیز نزدیکی زیادی با نتایج ارائه شده در این تحقیق دارد. آنها نیز در تحقیق خود از دو روش پذیرفتاری مغناطیسی و ژئوشیمی استفاده نمودند و دوره های اقلیمی مختلف را بر اساس این دو روش مشخص نمودند. در تحقیق حاضر نیز نتایج به دست آمده همپوشانی زیادی با تحقیق مذکور دارد. به طور کلی می توان این چنین عنوان کرد که آزمایش های مغناطیسی و شیمیایی صورت گرفته در برش نوده همدیگر را تأیید می کنند. علاوه بر این با نمونه های دیگر مورد مقایسه همخوانی زیادی دارند.

تقدیر و تشکر

نویسندها مراتب سپاس خود را از ریاست محترم سازمان زمین شناسی و اکتشافات معدنی کشور، مدیریت محترم امور آزمایشگاهی سازمان زمین شناسی و همکاران محترم به خصوص سرکار خانم جانشکن، ابوالحسنی و خانم اصلانی و آقایان کامرانی و محمودی به دلیل حمایت هایشان و در اختیار گذاشتن امکانات و تسهیلات آزمایشگاهی ابراز می دارند.

فهرست منابع

- Adamova, M., Havlicek, P., Sibrava, V., (2002). *Mineralogy and geochemistry of loesses in southern Moravia*. Bulletin of the Czech Geological Survey, Vol. 77, No.1, pp. 29–41
- Aghanabati, Ali, 2006, *Geology of Iran, Geology and Mineral Exploration publication*, pp1-691.
- Almasi, A, Pashaei, A, Jalilian, A and Ayoubi, Sh, 2006, *Investigation on composition and evaluation of clay minerals in the loess deposits and palesols of Ghapan area, Golestan province*, Agriculture. Science. Nature. Resource. Vol. 13(3).
- An, Z.S., Wang, J., and Li, H., 1977, *Paleomagnetic research of the Lochuan loess section*. Geochemical, Vol. 4, pp. 239–249.
- Antoine, P., Rousseau, D.D., Degeai, J.P., Moine, O., Lagroix, O., Kreutzer, S., Fuchs, M., Hatte, CH., Gauthier, C., Svoboda, J, and Lisa , l., 2013, *High-resolution record of the environmental response to climatic variations during the Last Interglacial Glacial cycle in Central Europe: the loess-palaeosol sequence of Dolní V_estonice (Czech Republic)*, Quaternary Science Reviews, 67, PP 17-38.
- Azizi, Ghasem, 2004, climate change, Ghomas publication, Volume 1.
- Chlachula, J., Little, E., 2011, *A high-resolution Late Quaternary climatostratigraphic record from Iskitim, Priobie Loess Plateau, SW Siberia*, Quaternary International 240 , 139e149.
- Ding, Z.L., Sun, J.M., Yang, S.L., and Liu T.S., 2001- *Geochemistry of the Pliocene red clay formation in the Chinese Loess Plateau and implications for its origin, source provenance and pale climate change*. Geochemical ET Cosmochimica Acta, (65) 6, 901–913.
- Ding, Z.L., Xiong, S.F., Sun, J.M., Yang, S.L., Gu, Z.Y., Liu, T.S., 1999, *Pedostratigraphy and Paleomagnetism of a ~7.0 Ma Eolian Loess-red Clay Sequence at Lingtai, Loess Plateau, North-central China and the Implications for Paleomonsoon Evolution, Palaeogeography Palaeoclimatology Palaeoecology*, No.152, pp.49-66.

- Frechen, M., Kehl, M., Rolf, C., Sarvati, R., Skowronek A., 2009, Loess Chronology of the Caspian Lowland in Northern Iran, *Quaternary International*, No. 198, pp. 220-233.
- Gallet, S., Jahn, B., Torii, M., 1996. Geochemical characterization of the Luochuan loess-paleosol sequence, China, and paleoclimatic implications. *Chemical Geology* 133, 67-88.
- Ghazanchaei, R., Pashaei, A., Khormali, F. and Ayoubi, Sh., 2008, Investigation on micromorphological properties of a loess-paleosol sequence in Naharkhoran, Gorgan, Agriculture. Science. Nature. Resource. Vol. 15(2).
- Guo, Z.T., Ruddiman, W.F., Hao, Q.Z., Wu, H.B., Qiao, Y.S., Zhu, R.X., Peng, S.Z., Wei, J.J., Yuan, B.Y., and Liu, T.S., 2002. Onset of Asian desertification by 22 Myr ago inferred from loess deposit in China. *Nature* Vol. 416, pp. 159-163.
- Hardcastle, J., 1890, *On the Timaru Loess as a Climatic Register, Transactions and Proceedings of New Zealand Institute*, No. 23, pp. 324-332.
- Hum, L., Fényes, J., 1995. The geochemical characteristics of loesses and paleosols in the South-Eastern Transdanube (Hungary). *Acta Mineralogica-Petrographica (Szeged)* 36, 89-100.
- Jahn, B., Gallet, S., Han, J., 2001. Geochemistry of the Xining, Xifeng and Jixian sections, Loess Plateau of China: eolian dust provenance and paleosol evolution during the last 140 ka. *Chemical Geology* 178, 71-94.
- Jia, J., Xia, D., Wang, B., Zhao, S., Li, G., Wei, H., 2013. The investigation of agnetic susceptibility variation mechanism of TienMountains modern loess: Pedogenic or wind intensity model? *Quaternary International* 296; 141-148.
- Karimi, A., Khademi, H., Kehl, M., Jalaian, A., 2009, Distribution, Lithology and Provenance of Peridesert Loess Deposits in Northeast Iran, *Geoderm*, No.148, pp. 241-250.
- Karimi, A., Khademi, H., Jalalian, A., 2011, Loess: Characterize and application for paleoclimate study, *Geography Research*, Volume 76, pp1-20.
- Karimi, A., Khademi, H., Ayoubi, A., 2013, Magnetic susceptibility and morphological characteristics of a loess–paleosol sequence in northeastern Iran, *Catena*, 101, pp. 56-60.
- Kehl, M., Frechen, M., Skowronek, A., 2005, Paleosols Derived from Loess and Loess-like Sediments in the Basin of Persepolis, Southern Iran, *Quaternary International*, No.140/141, pp.135-149.
- Kehl, M., Sarvati, R., Ahmadi, H., Frechen, M., Skowronek, A., 2006, Loess / Paleosol sequences along a Climatic Gradient in Northern Iran, *Eiszeitalter und Gegenwart*, No. 55, pp.149-173.
- Liu X.M., Rolph T., Bloemendal J., Shaw J., and Liu T.S., 1995. Quantitative estimates of palaeoprecipitation at Xifeng, in the loess Plateau of China. *Palaeogeography Palaeoclimatology Palaeoecology*, Vol. 113, pp. 5-162.
- Liu X.M., Rolph T., Bloemendal J., Shaw J., and Liu T.S., 1995. Quantitative estimates of palaeoprecipitation at Xifeng, in the loess Plateau of China. *Palaeogeography Palaeoclimatology Palaeoecology*, Vol. 113, pp. 5-162.
- Liu, T.S., 1987, *Aspects of Loess Research*, China Ocean Press, Beijing, pp. 447.
- Liu, T.S., Rolph, J., Bloemendal, J., Shaw J., and Liu, T.S., (1985). "Loess and Environment". *China Ocean Press, Beijing*, pp. 1-215
- Liu, W., Zhang, L., 2013. Chemical magnetization in Chinese loess, *Physics of the Earth and Planetary Interiors* 218; 14-18.
- Maher B.A. and Thompson R., 1995. Paleorainfall reconstructions from pedogenic magnetic susceptibility variations in the Chinese loess and paleosoils. *Quaternary Research*, Vol. 44, pp. 383-391.

- Maher, B.A., 2011. *The magnetic properties of Quaternary aeolian dusts and sediments, and their palaeoclimatic significance*. Aeolian Research, Vol. 3, pp. 87–145.
- McLennan, S.M., 2001. Relationships between the trace element composition of sedimentary rocks and upper continental crust. *Geochemistry, Geophysics, Geosystems* 2, 24, 2000GC000109.
- Mehdipour, F, 2012, *Investigation of paleoclimate in late quaternary western alborz using of technical applied and magnetism parameters, Geology and Mineral Exploration, master science thesis*.
- Muhs, D.R., and Bettis, E.A., (2000). "Geochemical Variations in Peoria Loess of Western Iowa Indicate Paleowinds of Midcontinental North America during Last Glaciation". *Quaternary Research*, Vol. 53, pp. 49–61
- Nabavi, Mehdi, 1976, *Introduction geology of Iran*, pp1-109.
- Okhravi, R. Amini, A., 2001, *Characteristics and Provenance of the Loess Deposits of the Gharatikan Watershed in Northeast Iran*, *Global and Planetary Change*, No. 28, pp.11-22.
- Pashaei, A., 1996, *Study of Chemical and Physical and Origin of Loess Deposits in Gorgan and Dasht Area*, *Earth Science*, 23/24, pp. 67-78.
- Pettijohn, F.J., (1957). "Sedimentary rocks". Harper-Broth, New York, pp. 1–78
- Smykatz-Kloss W., and Roy, P.D., 2010. *Evaporite mineralogy and major element geochemistry as tools for palaeoclimatic investigations in arid regions*. *Boletín de la Sociedad Geológica Mexicana*, Vol. 62, No. 3, pp. 380–390.
- Pécsi, M., 1990, *Loess is not Just the Accumulation of Dust*, *Quaternary International*, No.7/8, pp.1-12.
- Stocklin, J., 1968. *Structural history and tectonics of Iran: a review*. *American Association of Petroleum Geologists Bulletin*, Vol. 52, No. 7, pp. 1229-1258.
- Spassov, S., 2002. "Loess Magnetism, Environment and Climate Change on the Chinese Loess Plateau". *Doctoral Thesis, ETH Zürich*, pp. 1–151
- Taylor, S.R., McLennan, S.M., McCulloch, M.T., 1983. *Geochemistry of loess, continental crustal composition and crustal model ages*. *Geochimica et Cosmochimica Acta* 47, 1897–1905.
- Zander, A., Frechen, M., Zytkina, V., Boenigk, W., 2003. *Luminescencechronology of the Upper Pleistocene loess record at Kurtak in Middle Siberia*. *Quaternary Science Reviews* 22, 999–1010.
- Zech, M., Zech, R., Zech, W., Glaser, B., Brodowski, S., Amelung, W., 2008. *Characterisation and palaeoclimate of a loess-like permafrost palaeosol sequence in NE Siberia*, *Geoderma* 143; 281–295.
- Ziyaee, A, Pashaei, A, Khormali, F and Roshani, M.R,2013, *Some physico-chemical, clay mineralogical and micromorphological characteristics of loess-paleosols sequences indicators of climate change in south of Gorgan*, *Journal of Water and Soil Conservation*, Vol. 20(1).